600 V 高圧 3 相モータドライバ

SCM1276MB



暫定版

データシート

概要

SCM1276MB は、出力素子、プリドライバおよび制限抵抗付きブートストラップダイオードを 1 パッケージにした、高圧 3 相モータ用ドライバです。

3 シャント方式に対応し、ユニバーサル入力仕様の中容量モータのインバータ制御に最適です。

特長

- 温度モニタ機能搭載
- 異常時に全出力素子の遮断が可能 (FO1、FO2、FO3 端子の共通接続)
- ブートストラップダイオード内蔵 (制限抵抗 22 Ω)
- CMOS (3.3 V、5 V系) 入力レベル対応
- Pb フリー (RoHS 対応)
- 絶縁耐圧 2500 V (1分) 保証
- 保護回路動作時エラー信号出力
- 保護機能

電源電圧低下保護機能

ハイサイド (UVLO_VB) : 自動復帰 ローサイド (UVLO_VCC) : 自動復帰

過電流保護機能(OCP):自動復帰

同時オン防止機能:自動復帰

短絡時過電流保護機能 (SCP) : 自動復帰 サーマルシャットダウン: 自動復帰

パッケージ

DIP33 (ピン間隔: 1.27 mm、ボディーサイズ: 47 mm×19 mm×4.4 mm)



原寸大ではありません。

主要特性

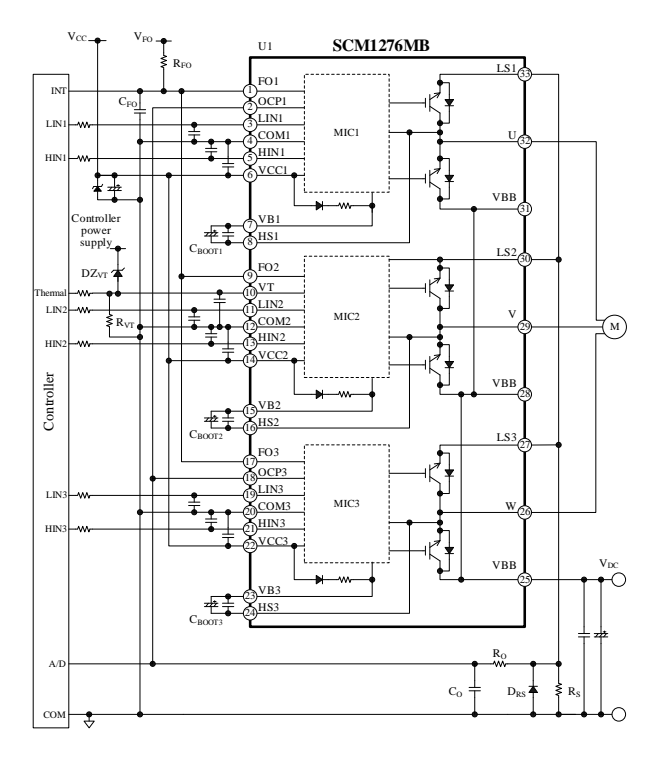
● 出力素子: IGBT + FRD (600 V)

● 電流定格:30 A

アプリケーション

- 冷蔵庫・エアコンのコンプレッサ駆動
- 洗濯機のドラム駆動
- ファンモータ、ポンプ駆動

応用回路例



© SANKEN ELECTRIC CO., LTD. 2025

目次

概要	1
目次	2
1. 絶対最大定格	4
2. 推奨動作条件	5
3. 電気的特性	6
3.1. 制御部特性	
3.2. ブートストラップダイオード特性	
3.3. 熱抵抗	
3.4. スイッチング素子特性	
4. 機械的特性	9
5. 絶縁距離	9
6. 真理値表	10
7. ブロックダイアグラム	11
8. 各端子機能	12
9. 応用回路例	
10. 外形図	
10.1, LF2552	
10.1. LF2552	13 16
10.2. PCB 穴径(参考)	
11. 捺印仕様	
12. 機能説明	
12.1. 起動、停止時の注意	
12.2. 各端子の設定	
12.2.1. U、V、W 端子	
12.2.2. VB1、VB2、VB3 端子	
12.2.3. HS1、HS2、HS3 端子	
12.2.4. VCC1、VCC2、VCC3 端子	
12.2.5. COM1、COM2、COM3 端子	
12.2.6. HIN1、HIN2、HIN3 端子 LIN1、LIN2、LIN3 端子	
12.2.7. VBB 端子	
12.2.8. LS1、LS2、LS3 端子	
12.2.9. OCP1、OCP3 端子	
12.2.10. FO1(U 相)、FO2(V 相)、FO3 端子(W 相)	
12.2.11. VT 端子	
12.3. 温度モニタ機能	
12.4. 保護機能	23
12.4.1. エラー出力	
12.4.2. シャットダウン信号入力	_
12.4.3. 電源電圧低下保護機能(UVLO)	
12.4.4. 過電流保護機能(OCP)	
12.4.5. 短絡時過電流保護機能(SCP)	
12.4.6. 同時オン防止機能	
12.4.7. サーマルシャットダウン (TSD)	27

13. 設計上の注意点	27
13.1. パターンレイアウト	27
13.2. 放熱器を取り付ける際の注意	27
13.3. IC の特性を測定する際の注意	
14. 損失の計算とジャンクション温度の推定	
14.1. IGBT の定常損失 Pon	29
14.2. IGBT のスイッチング損失 P _{SW}	
14.3. IGBT のジャンクション温度の推定	
14.4. フリーホイールダイオードの定常損失 PF	30
14.5. フリーホイールダイオードのジャンクション温度の推定	30
15. 代表特性グラフ	31
15.1. 過渡熱抵抗特性グラフ	
15.2. 制御部代表特性グラフ	32
15.3. 出力特性グラフ	37
15.3.1. 出力素子特性グラフ	37
15.3.2. スイッチング損失特性グラフ	37
15.4. 許容実効電流特性グラフ	38
15.5. 短絡 SOA	39
16. パターンレイアウト例	40
17. モータドライバ回路例	42
注意書き	43

1. 絶対最大定格

電流値の極性は、IC を基準として、流入(シンク)を"+"、流出(ソース)を"-"と規定します。特記がない場合の条件は $T_A=25$ °C です。

項目	記号	条件	定格	単位	備考
主電源電圧(連続)	V_{DC}	VBB-LSx 間	450	V	
主電源電圧(サージ)	$V_{\text{DC}(\text{SURGE})}$	VBB-LSx 間	500	V	
IGBT 出力耐圧	V _{CES}	$V_{CC} = 15 \text{ V}, I_C = 1$ $mA, V_{IN} = 0 \text{ V}$	600	V	
制御電源電圧	V_{CC}	VCCx-COMx 間	0~20	V	
	V_{BS}	VBx–HSx 間	0~20	V	
出力電流 ⁽¹⁾	I_{O}	$T_C = 25 ^{\circ}\text{C}$, $T_J < 150 ^{\circ}\text{C}$	30	Α	
出力電流 (パルス)	I_{OP}	T _C =25 °C、 パルス幅 ≤1ms、 シングルパルス	45	A	
入力電圧	$V_{\rm IN}$	HINx-COMx 間、 LINx-COMx 間	-0.5~7	V	
FOx 端子電圧	V_{FO}	FO1-COM1 間、 FO2-COM2 間、 FO3-COM3 間	-0.5~7	V	
OCPx 端子電圧	V_{OCP}	OCP1-COM1 間、 OCP3-COM3 間	-10~5	V	
動作ケース温度(2)	T _{C(OP)}		-30~100	°C	
ジャンクション温度 ⁽³⁾	$T_{\rm J}$		150	°C	
保存温度	Tstg		-40∼150	°C	
絶縁耐圧 ⁽⁴⁾	V _{ISO(RMS)}	裏面-端子間 AC、60 Hz、1 分間	2500	V	

⁽¹⁾ 実際のケース温度に応じたディレーティングが必要(15.4 項参照)

⁽²⁾ IC 動作時のケース温度

⁽³⁾ IC 内部の各チップ (制御 IC、出力素子、フリーホイールダイオード) のジャンクション温度

⁽⁴⁾ すべての端子(ショート)とケース間の絶縁耐圧

2. 推奨動作条件

項目	記号	条件	Min.	Тур.	Max.	単位	備考
主電源電圧	V_{DC}	COM1 = COM2 = COM3、 VBB-COM 間		300	400	V	
制御電源電圧	V_{CC}	VCCx-COMx 間	13.5	15	16.5	V	
	V_{BS}	VBx-HSx 間	13.5		16.5	V	
入力電圧 (HINx、LINx、FOx)	$V_{\rm IN}$		0		5.5	V	
 最小入力パルス幅	t _{IN(MIN)ON}		0.5			μs	
取/1・/ペ/// ソレノハ 田	$t_{IN(MIN)OFF} \\$		0.5	_		μs	
入力信号デッドタイム	t_{DEAD}		1.5			μs	
FOx 端子プルアップ 抵抗	R_{FO}		1		22	kΩ	
FOx 端子プルアップ 電圧	V_{FO}		3.0		5.5	V	
FOx 端子ノイズ除去用 コンデンサ	C_{FO}				1000	pF	
VT 端子プルダウン抵抗	R_{VT}		10	_		kΩ	
ブートストラップコン デンサ	C_{BOOT}		10		220	μF	
シャント抵抗(1)	R_S	$I_{OP} \le 45 \text{ A}$	12.0	_	_	mΩ	
RC フィルタ抵抗	R_{O}	(2)	_		100	Ω	
RC フィルタコンデンサ	Co	(2)		_	8200	pF	
PWM キャリア周波数	fc		_	_	20	kHz	

⁽¹⁾ インダクタンス成分が小さい抵抗を使用

 $^{^{(2)}}$ Ro と Co の時定数は次式を満たすように設定(詳細は 12.4.4 項参照) Ro × Co < 0.82 μs

3. 電気的特性

電流値の極性は、IC を基準として流入(シンク)を"+"、流出(ソース)を"-"と規定します。特記がない場合の条件は $T_A=25$ °C、 $V_{CC}=15$ V です。

3.1. 制御部特性

項目	記号	条件	Min.	Typ.	Max.	単位
電源部						
制御動作開始電圧	V _{CC(ON)}	VCCx-COMx 間	10.5	11.5	12.5	V
阿伊男仆州如电/二	V _{BS(ON)}	VBx-HSx 間	10.5	11.5	12.5	V
制御動作停止電圧	V _{CC(OFF)}	VCCx-COMx 間	10.0	11.0	12.0	V
前御期作序址电/工	V _{BS(OFF)}	VBx-HSx 間	10.0	11.0	12.0	V
制御電源電流	I_{CC}	VCC1 = VCC2 = VCC3、 COM1 = COM2 = COM3、 3 相合計 VCC 端子電流	_	3		mA
即呼电你电机	I_{BS}	VBx-HSx = 15 V、 HINx = 5 V、1 相あたり の VBx 端子電流	—	80		μΑ
入力信号部						
ハイレベル入力しきい電圧 (HINx、LINx、FOx)	V_{IH}		1.5	2.0	2.5	V
ローレベル入力しきい電圧 (HINx、LINx、FOx)	V_{IL}		1.0	1.5	2.0	V
ハイレベル入力電流 (HINx、LINx)	${ m I}_{ m IH}$	$V_{IN} = 5 V$	_	230	500	μΑ
ローレベル入力電流 (HINx、LINx)	${ m I}_{ m IL}$	$V_{IN} = 0 V$	_		2	μΑ
エラー信号出力						
エラー信号出力時 FOx 端子電圧	V_{FOL}	$V_{FO} = 5 \text{ V}, R_{FO} = 10 \text{ k}\Omega$	_	_	0.5	V
定常動作時 FOx 端子電圧	V_{FOH}	$V_{FO} = 5 \text{ V}, R_{FO} = 10 \text{ k}\Omega$	4.8	_	_	V
保護機能						
過電流保護動作電圧	V_{TRIP}		0.46	0.50	0.54	V
短絡時過電流保護動作電圧	V _{SCPT}	LS2-COM2 間	_	2.5	_	V
過電流保護保持時間	t _P		5	10	_	ms
過電流保護ブランキング時間	t _{BK(OCP)}	$V_{OCP} = 1 \text{ V}$		370	_	ns
短絡時過電流保護 ブランキング時間	t _{BK(SCP)}	$V_{LS2} = 4.0 \text{ V}$	_	810	_	ns
FO2 端子フィルタ時間	t _{FIL(FO2)}		135	300	_	ns
温度モニタ出力電圧(1)(2)	V_{T}	$T_{J(MIC)} = 125 ^{\circ}C$, $V_{RT} = 100 k\Omega$	2.997	3.155	3.313	V
サーマルシャットダウン 動作温度 ⁽²⁾	$T_{ m DH}$		135	150	165	°C
サーマルシャットダウン 動作解除温度 ⁽²⁾	$T_{ m DL}$		105	120	135	°C

⁽¹⁾ 制御 IC のジャンクション温度です。出力素子のジャンクション温度ではありません。

② 設計保証

3.2. ブートストラップダイオード特性

項目	記号	条件	Min.	Тур.	Max.	単位	備考
ブートストラップダイオード リーク電流	I_{LBD}	$V_R = 600 \text{ V}$	_	_	10	μΑ	
ブートストラップダイオード 順電圧	V_{FB}	$I_{FB} = 0.15 A$		1.1	1.3	V	
ブートストラップダイオード 直列抵抗	R _{BOOT}		17.6	22.0	26.4	Ω	

3.3. 熱抵抗

項目	記号	条件	Min.	Typ.	Max.	単位	備考
	$R_{(J-C)Q}^{(2)}$	IGBT 1 素子あたり	_	_	3	°C/W	
ジャンクション-ケース間 熱抵抗 ⁽¹⁾	R _(J-C) F ⁽³⁾	フリーホイールダ イオード 1 素子あ たり			4	°C/W	

⁽¹⁾ ケース温度は図 3-1 で規定

- (2) 内部出力素子のジャンクションとケース間の定常熱抵抗(過渡熱特性は15.1 項を参照)
- (3) 内部フリーホイールダイオードのジャンクションとケース間の定常熱抵抗

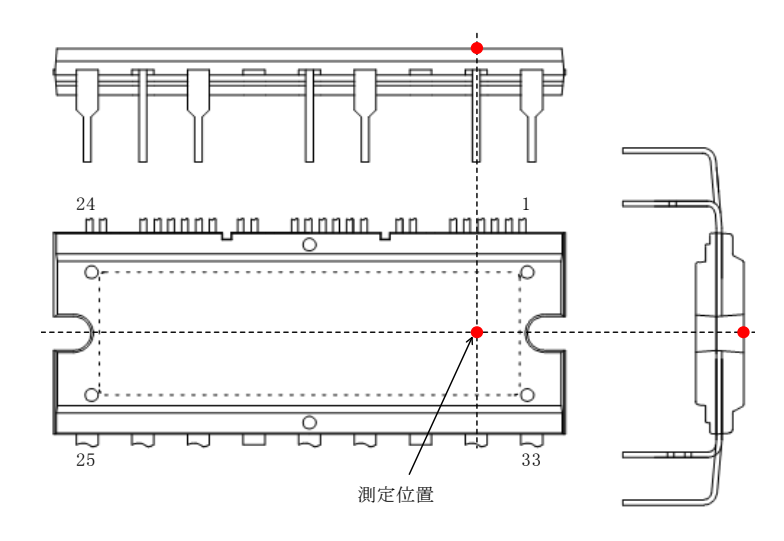


図 3-1 ケース温度測定位置

© SANKEN ELECTRIC CO., LTD. 2025

3.4. スイッチング素子特性

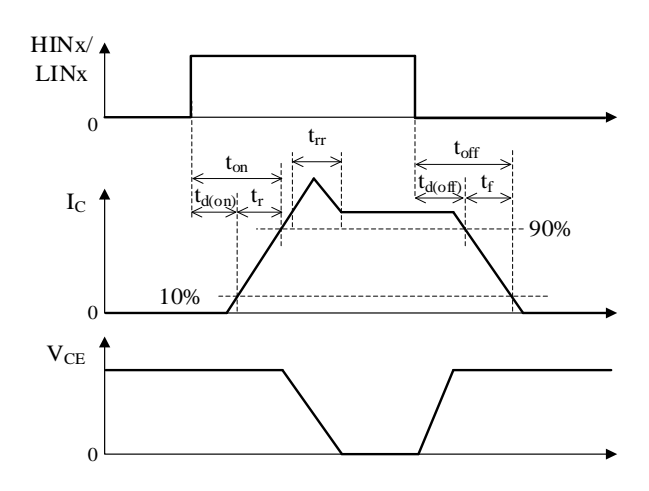


図 3-2 スイッチング時間の定義

項目	記号	条件	Min.	Typ.	Max.	単位
コレクタ-エミッタ間漏れ電流	I _{CES}	$V_{CE} = 600 \text{ V}, V_{IN} = 0 \text{ V}$	_	_	1	mA
コレクタ-エミッタ間飽和電圧	V _{CE(SAT)}	$I_C = 30 \text{ A}, V_{IN} = 5 \text{ V}$		1.7	2.2	V
ダイオード順電圧	V_{F}	$I_F = 30 \text{ A}, V_{IN} = 0 \text{ V}$		1.65	2.05	V
ハイサイドスイッチング特性						
ダイオード逆回復時間	t_{rr}	$V_{DC} = 300 \text{ V}$	_	100	_	ns
ターンオン遅延時間	t _{d(ON)}	$I_{\rm C} = 30 \text{A}$		850		ns
上昇時間	$t_{\rm r}$	$V_{IN} = 0 \leftrightarrow 5 V$		160	_	ns
ターンオフ遅延時間	$t_{d(OFF)}$	T _J = 25 °C、 誘導負荷	_	1250	_	ns
下降時間	t_{f}			170	_	ns
ローサイドスイッチング特性						
ダイオード逆回復時間	t _{rr}	V 200 V	_	100	_	ns
ターンオン遅延時間	$t_{d(ON)}$	$V_{DC} = 300 \text{ V},$ $I_{C} = 30 \text{ A},$ $V_{IN} = 0 \leftrightarrow 5 \text{ V},$	_	950	_	ns
上昇時間	t _r		_	250	_	ns
ターンオフ遅延時間	t _{d(OFF)}	T _J = 25 °C、 誘導負荷		1250		ns
下降時間	t_{f}	105守只彻		170	_	ns

4. 機械的特性

項目	条件	Min.	Typ.	Max.	単位
締付けトルク	*	0.588	_	0.784	N·m
放熱面平坦度	図 4-1 参照	0	_	200	μm
質量		_	11.8	_	g

^{*}φ7.0 の平座金と M3 のネジを使用してください。締付けの際の注意事項は、13.2 項を参照してください。

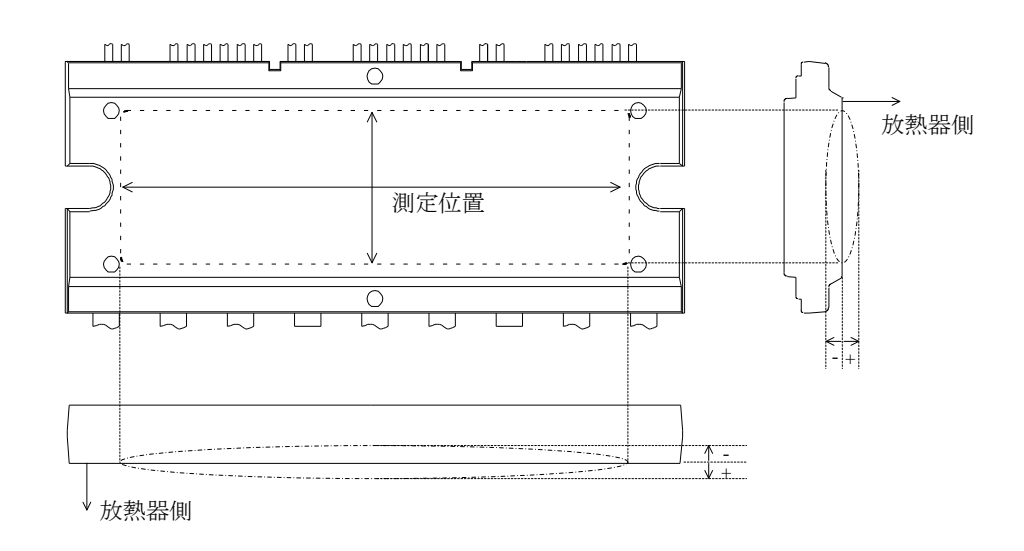


図 4-1 放熱面平坦度測定位置

5. 絶縁距離

項目	条件	Min.	Тур.	Max.	単位
空間距離	放熱器*-リード間	2.0	_	2.5	mm
沿面距離	図 5-1 参照	3.86	_	4.26	mm

^{*} 放熱器の形状が平坦の場合です。本規格値以上の空間距離を確保する場合は、放熱器の形状を凸にするなどの対応が必要です。

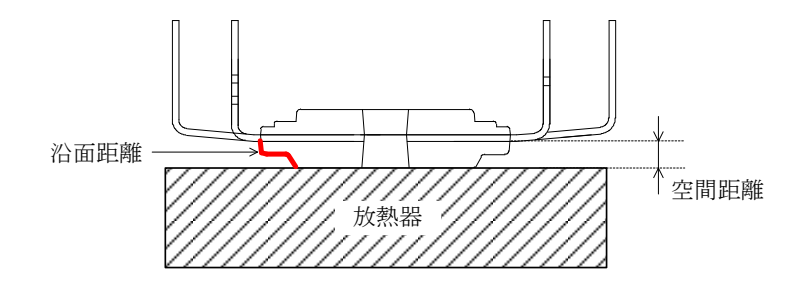


図 5-1 絶縁距離測定位置

6. 真理值表

表 6-1 に各動作モードの真理値表を示します。

各相において、HINx 端子と LINx 端子に"H"を入力した場合、同時オン防止機能が動作し、出力素子はハイサイド、ローサイド共にオフになります。

ローサイド電源電圧低下保護(UVLO_VCC)から復帰した後は、ハイサイドとローサイドの出力素子は入力論理に応じてオン/オフします(レベル動作)。

ハイサイド電源電圧低下保護(UVLO_VB)から復帰した後は、次の立ち上がりエッジからハイサイドの出力素子をオン/オフします(エッジ動作)。

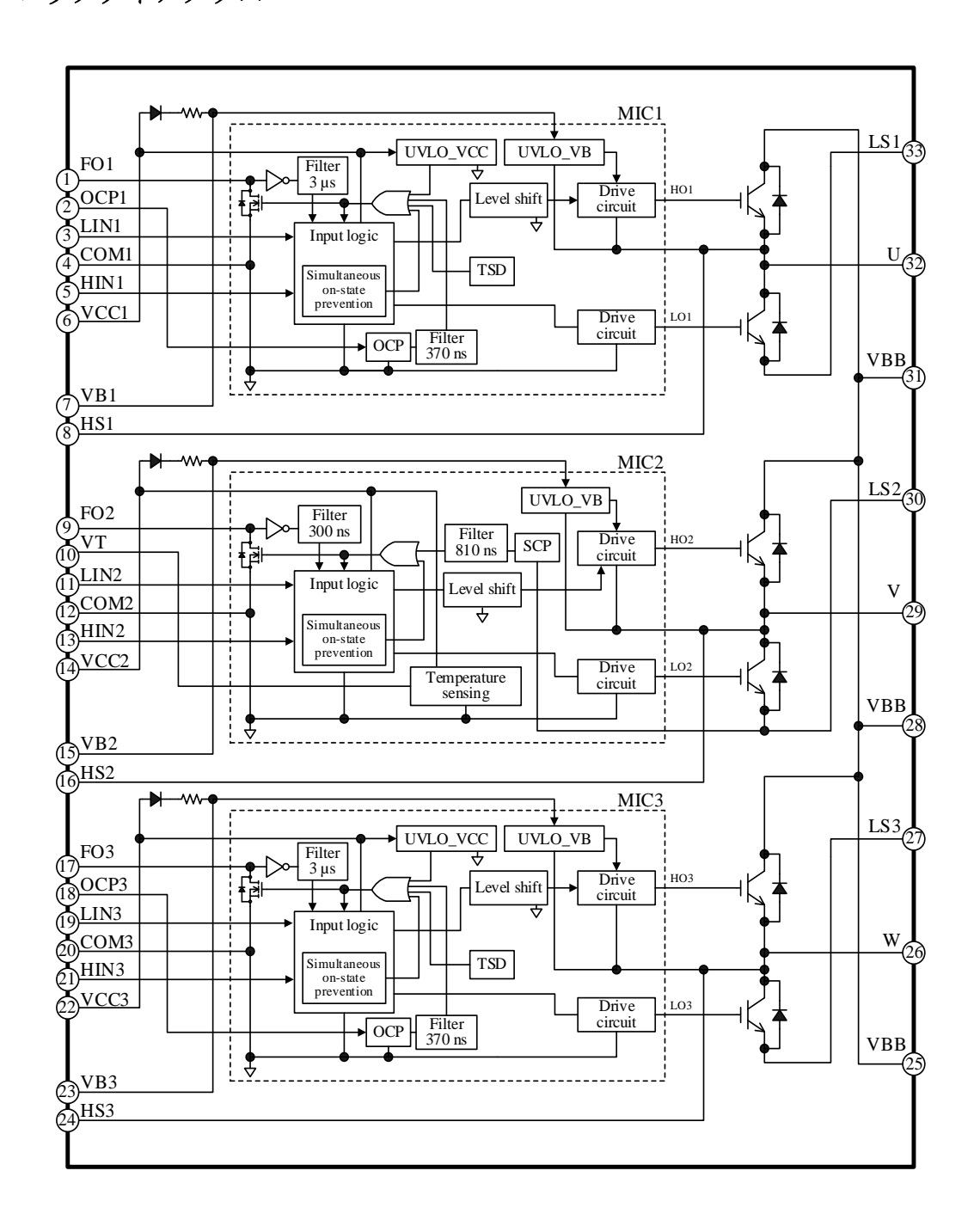
表 6-1 各動作モードの真理値表

モード	HINx	LINx	ハイサイドスイッチ	ローサイドスイッチ
	L	L	OFF	OFF
定常動作	Н	L	ON	OFF
化吊 期作	L	Н	OFF	ON
	Н	Н	OFF	OFF
	L	L	OFF	OFF
シャットダウン信号入力	Н	L	OFF	OFF
FO1/FO2/FO3 = L	L	Н	OFF	OFF
	Н	Н	OFF	OFF
	L	L	OFF	OFF
ハイサイド電源電圧低下	Н	L	OFF	OFF
保護動作(UVLO_VB)	L	Н	OFF	ON
	Н	Н	OFF	OFF
	L	L	OFF	OFF
ローサイド電源電圧低下	Н	L	OFF	OFF
保護動作(UVLO_VCC)(1)	L	Н	OFF	OFF
	Н	Н	OFF	OFF
	L	L	OFF	OFF
 過電流保護動作(OCP) ⁽¹⁾	Н	L	OFF	OFF
则电视浓度野旧(OCF)	L	Н	OFF	OFF
	Н	Н	OFF	OFF
	L	L	OFF	OFF
 短絡時過電流保護機能(SCP) ⁽²⁾	Н	L	OFF	OFF
应稍时则电视休谟(该比(SCP)、✓	L	Н	OFF	OFF
	Н	Н	OFF	OFF
	L	L	OFF	OFF
サーマルシャットダウン(TSD) ⁽¹⁾	Н	L	OFF	OFF
y	L	Н	OFF	OFF
	Н	Н	OFF	OFF

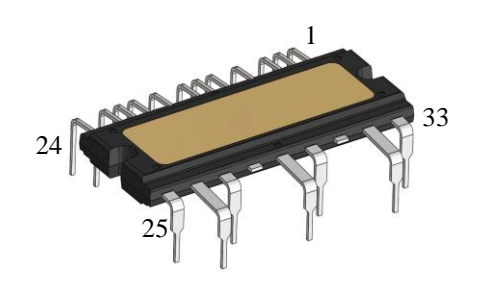
⁽¹⁾ U相、W相のみ搭載

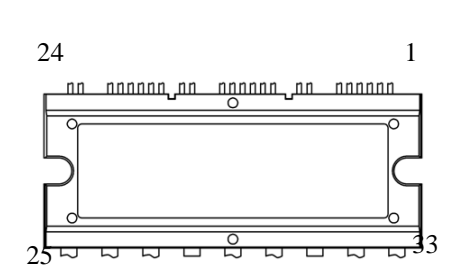
⁽²⁾ V 相のみ搭載

7. ブロックダイアグラム



8. 各端子機能





端子番号	端子名	機能
1	FO1	U 相エラー出力/シャットダウン信号入力
2	OCP1	U相過電流保護信号入力
3	LIN1	U相ローサイド制御信号入力
4	COM1	U相制御グランド
5	HIN1	U相ハイサイド制御信号入力
6	VCC1	U相制御回路電源入力
7	VB1	U相ハイサイド・フローティング電源入力
8	HS1	U相ハイサイド・フローティング電源グランド
9	FO2	V 相エラー出力/シャットダウン信号入力
10	VT	温度モニタ電圧出力
11	LIN2	V相ローサイド制御信号入力
12	COM2	V相制御グランド
13	HIN2	V 相ハイサイド制御信号入力
14	VCC2	V相制御回路電源入力
15	VB2	V 相ハイサイド・フローティング電源入力
16	HS2	V相ハイサイド・フローティング電源グランド
17	FO3	₩ 相エラー出力/シャットダウン信号入力
18	OCP3	W相過電流保護信号入力
19	LIN3	W相ローサイド制御信号入力
20	COM3	W相制御グランド
21	HIN3	W相ハイサイド制御信号入力
22	VCC3	W相制御回路電源入力
23	VB3	W 相ハイサイド・フローティング電源入力
24	HS3	W 相ハイサイド・フローティング電源グランド
25	VBB	DC (+) 電源入力
26	W	₩ 相出力
27	LS3	W 相 IGBT エミッタ
28	VBB	DC(+)電源入力(カットピン)
29	V	V相出力
30	LS2	V相 IGBT エミッタ
31	VBB	DC (+) 電源入力 (カットピン)
32	U	U相出力
33	LS1	U相 IGBT エミッタ

上面図

9. 応用回路例

各端子へのサージ印加は、IC の誤動作の原因や、絶対最大定格を超えると IC の破壊の原因になります。 そのため、必要に応じて CR フィルタ回路やツェナーダイオードなどを各端子に追加し、問題がないか実働 で確認をしてください。

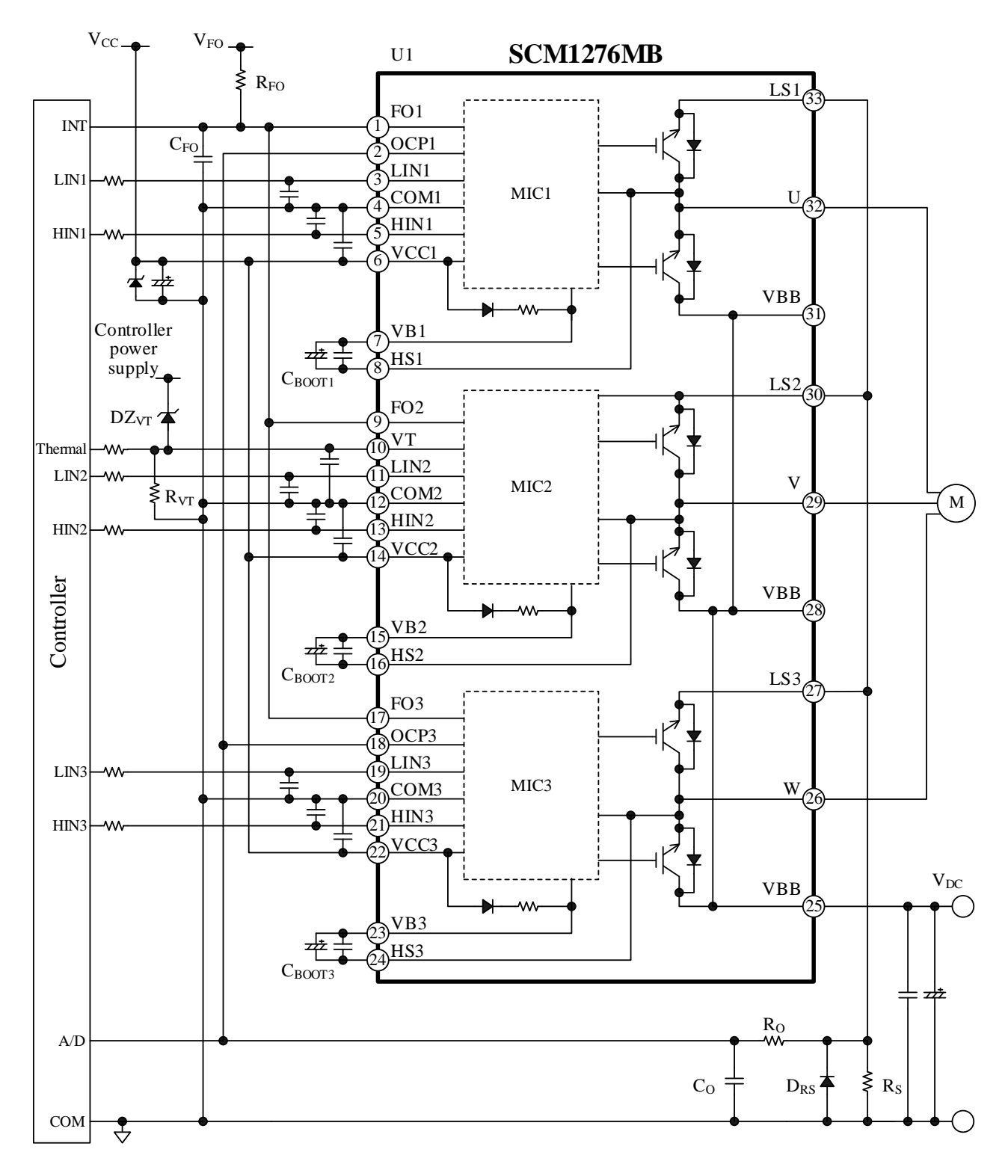


図 9-1 応用回路例 (1シャント検出方式)

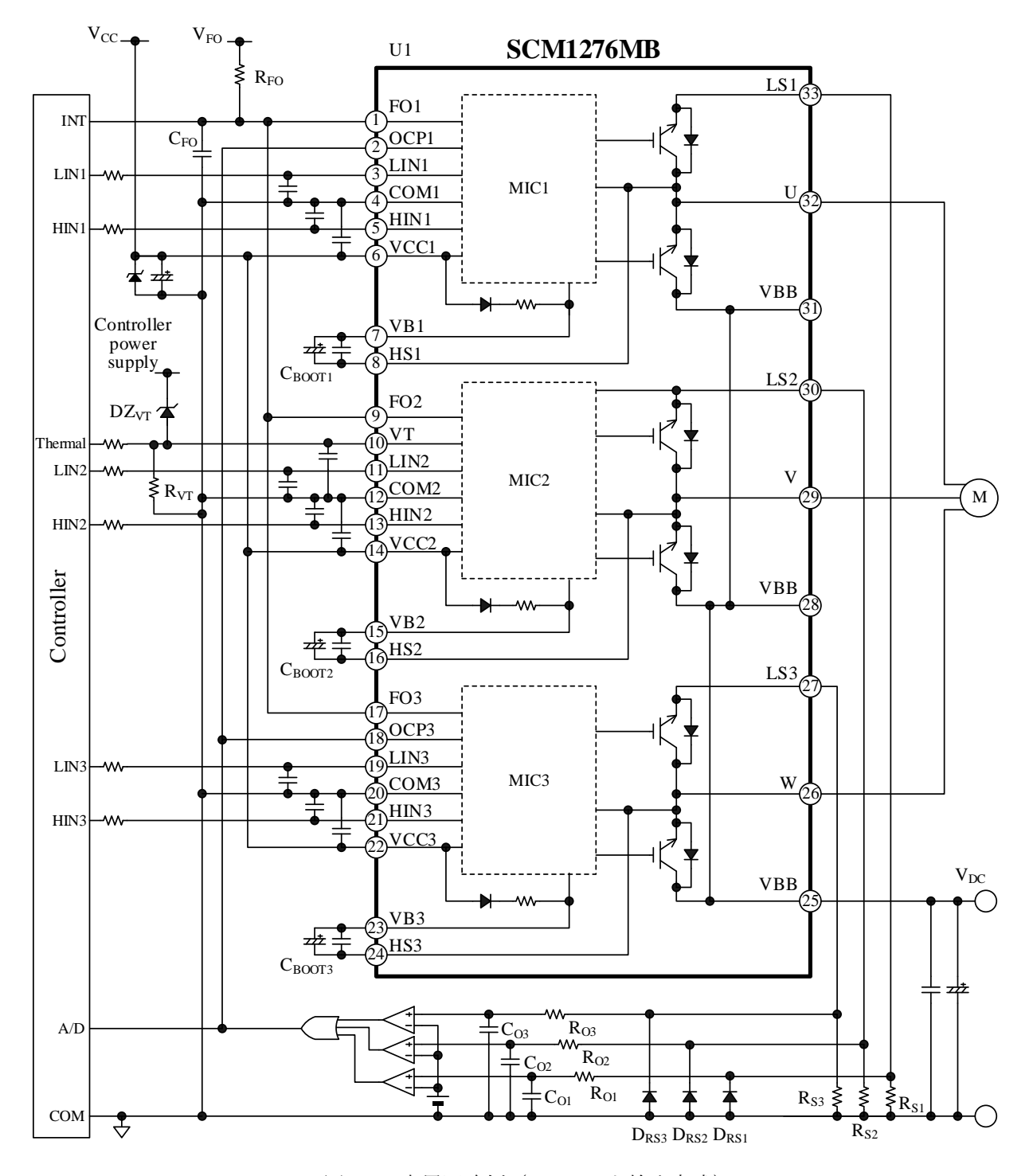
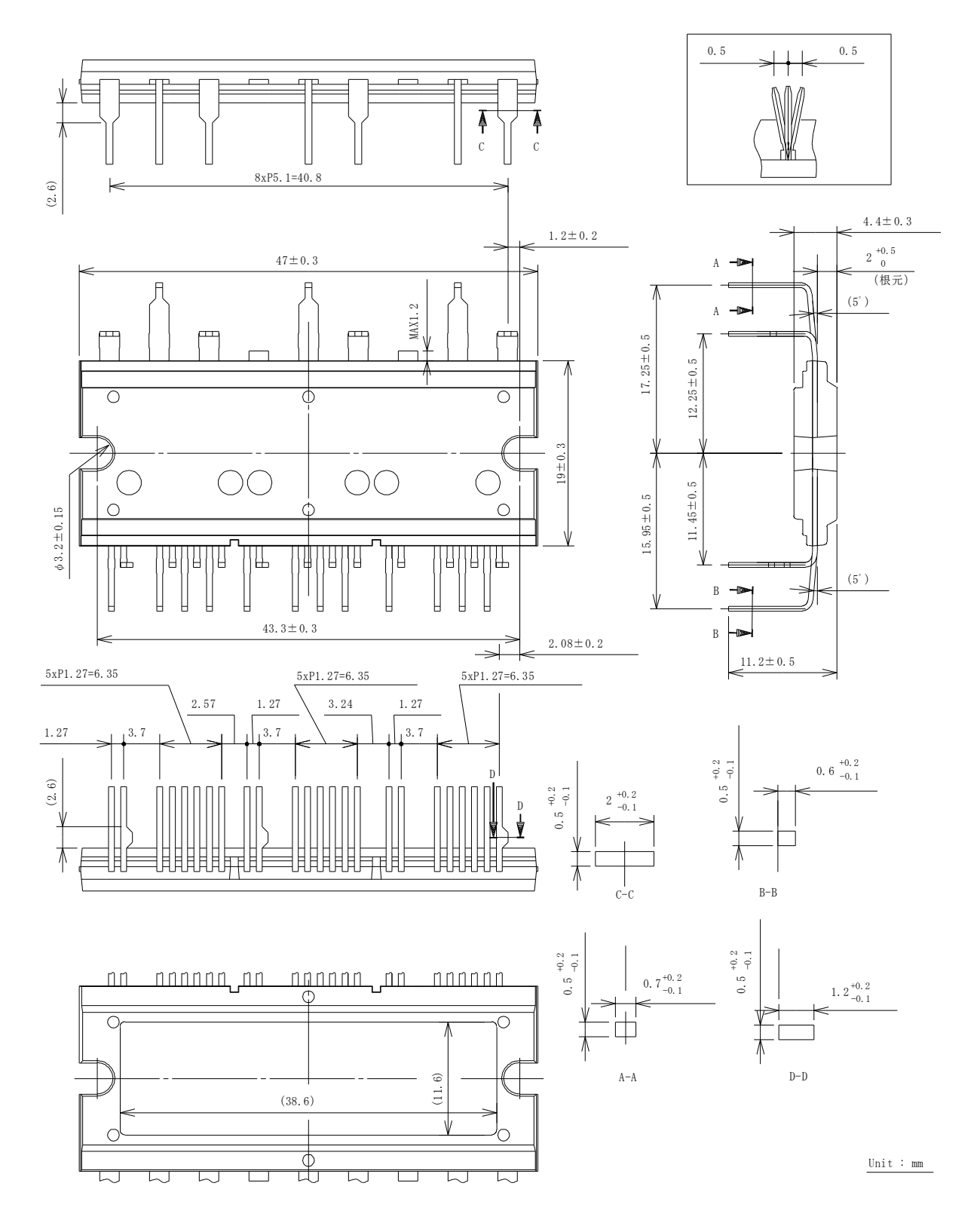


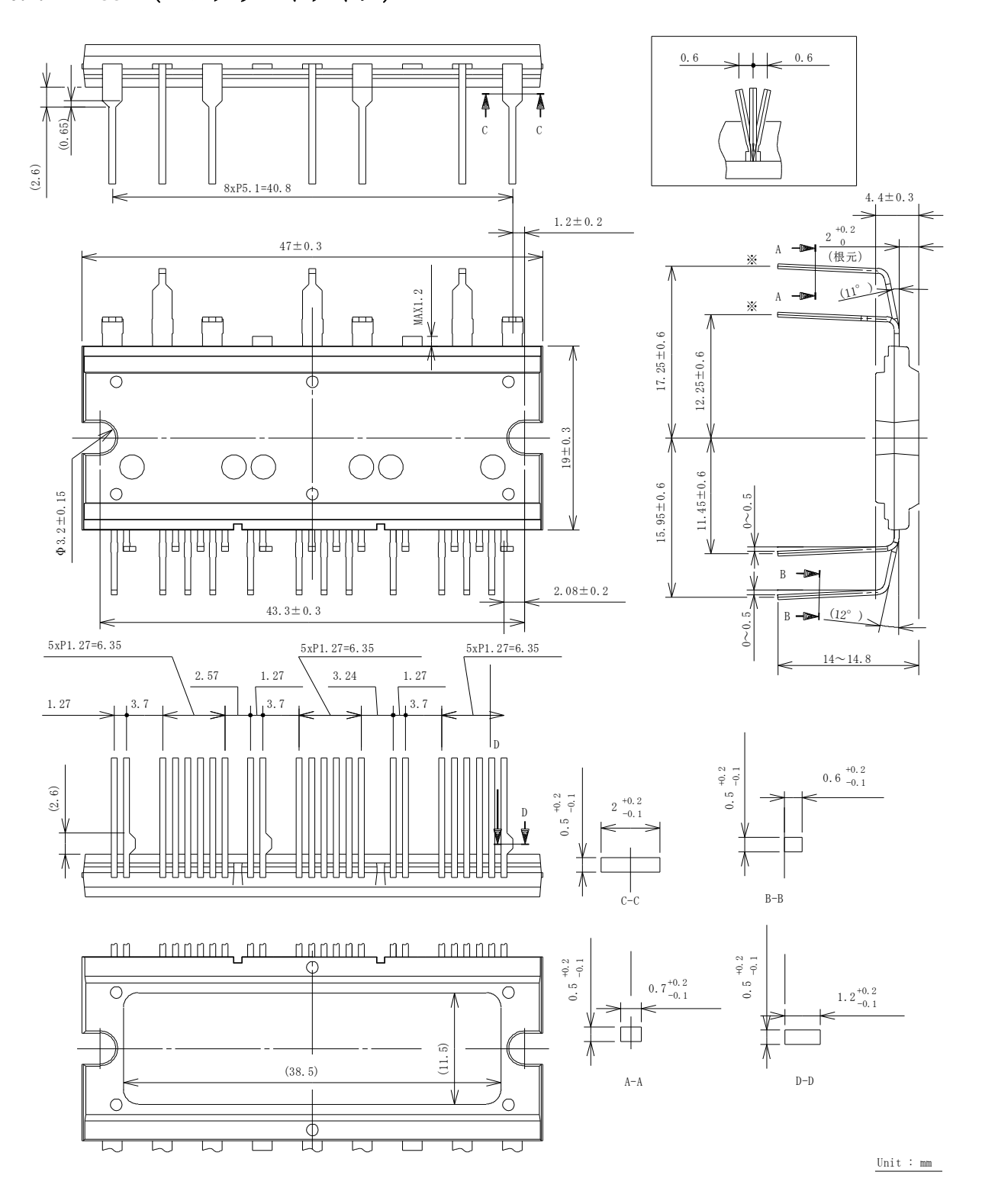
図 9-2 応用回路例 (3シャント検出方式)

10. 外形図

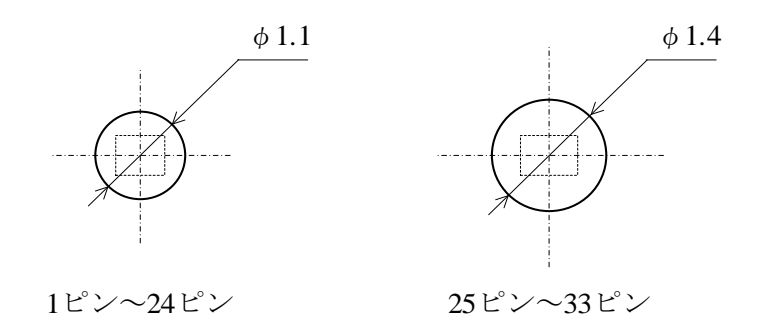
10.1. LF2552



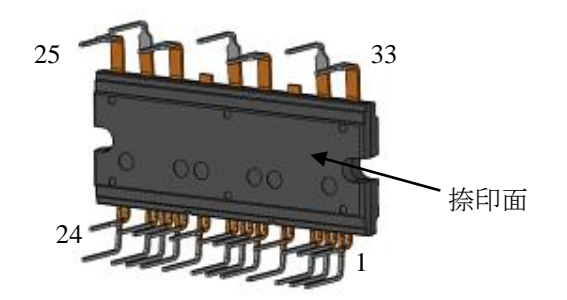
10.2. LF2557 (ロングリードタイプ)

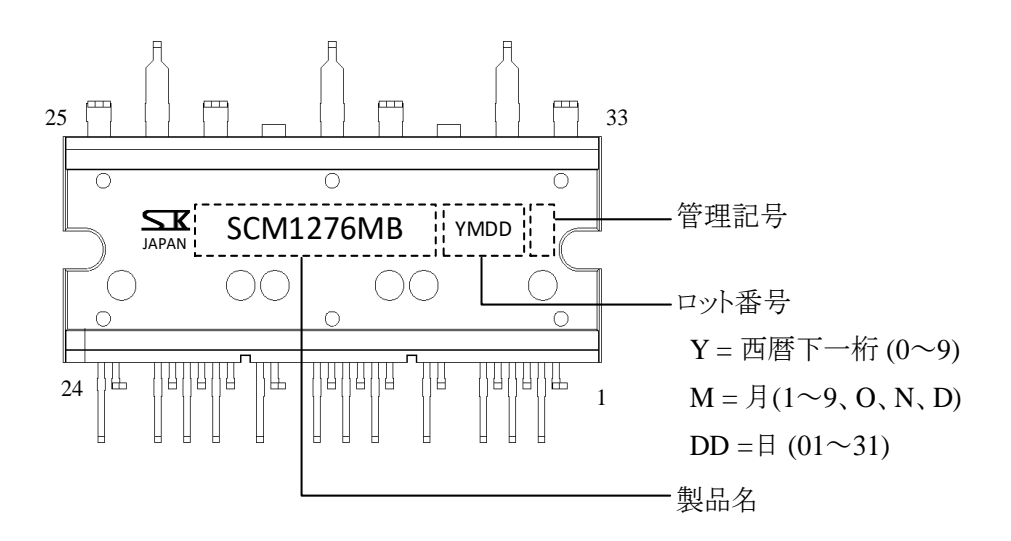


10.3. PCB 穴径 (参考)



11. 捺印仕様





12. 機能説明

特記のない場合の特性数値は Typ.値を表記します。

本 IC は U、V、W 相に対応する端子記号に数字 $(1\sim3)$ が付与されています。本項では、 $1\sim3$ のいずれか、またはすべての端子を指す場合に、任意の記号"x"を用います。たとえば、"VBx 端子"は VB1 端子、VB2 端子、VB3 端子を指します。また、"VBx 端子と HSx 端子"のように、2 つ以上の端子について述べる場合は"VB1 端子と HS1 端子"のように同相の端子を意味します。

12.1. 起動、停止時の注意

電源の起動時は、本 IC の VCCx 端子電圧が制御動作開始電圧 $V_{CC(ON)}$ の最大値 12.5 V 以上になってから、VBB、HINx、LINx 端子への電圧印加を推奨します。起動時は、ブートストラップ回路用コンデンサ C_{BOOTx} を十分に充電してください(12.2.2項参照)。

また電源の停止時は、IC への制御信号をすべて "L"にしてから、本 IC の VCCx 端子電圧を下げて ください。

12.2. 各端子の設定

12.2.1. U、V、W 端子

U 相、V 相、W 相の出力端子で、モータに接続します。U、V、W 端子は、IC 内部でそれぞれ HS1、HS2、HS3 端子に接続しています。

12.2.2. VB1、VB2、VB3 端子

ハイサイド・フローティング電源の入力端子です。

各相の VBx 端子と HSx 端子間に印加する電圧は、推奨制御電源電圧 V_{BS} (2 項参照) を満たすようにします。

ブートストラップ回路用コンデンサ CBOOTX を各相の VBx 端子と HSx 端子の間にそれぞれ接続します。起動時は、ローサイドのパワー素子をオンして CBOOTX を十分に充電します。CBOOTX の値は、式(1)と式(2)を満たす値から選定します。このとき、静電容量の許容誤差や DC バイアス特性を十分に考慮する必要があります。

$$C_{BOOT} (\mu F) > 800 \times t_{L(OFF)} (s)$$
 (1)

$$10 \,\mu\text{F} \le C_{\text{BOOTx}} \le 220 \,\mu\text{F} \tag{2}$$

ここで、

 $t_{L(OFF)}$: ローサイドパワー素子の最長オフ時間(s) $(C_{BOOTx}$ を充電しない時間)

ハイサイドのスイッチング動作が停止しているときも、 C_{BOOTx} の電圧は IC の電力消費で低下します。VBx 端子の電圧が制御動作停止電圧 $V_{BS(OFF)}$ 以下に低下すると、ハイサイドの電源電圧低下保護回路($UVLO_VB$)が動作します(12.4.3.1 項参照)。最終的に実働動作で、起動時などの低周波数動作時も VBx 端子電圧が $V_{BS(OFF)}$ の最大値 12.0 V より高い電圧を維持しているか確認が必要です。

図 12-1 のように SCM1276MB は、VCCx 端子と VBx 端子の間にブートストラップダイオード D_{BOOTx} と突入電流制限用抵抗 R_{BOOTx} を直列に内蔵しています。 C_{BOOTx} 充電時の時定数 τ は、式(3)で計算できます。

$$\tau = C_{BOOTx} \times R_{BOOTx} \tag{3}$$

ここで、

C_{BOOTx}:調整した C_{BOOTx}の値

 R_{BOOTx} : 22 $\Omega \pm 20\%$

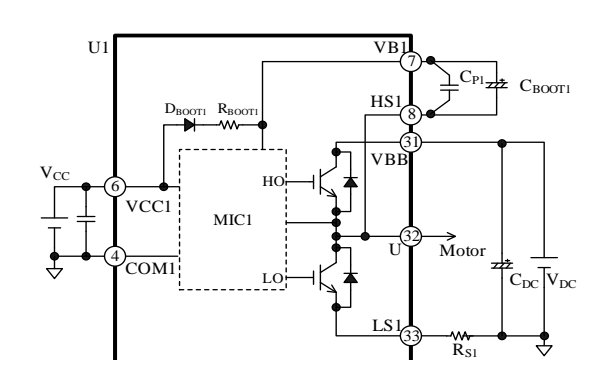


図 12-1 ブートストラップ回路

図 12-2 に IC 内部のレベルシフト部の回路を示します。ハイサイドの出力信号 HOx は HINx 端子の入力信号に応じて生成されます。HINx 端子の信号のアップエッジからセット信号、ダウンエッジからリセット信号が生成され、それぞれレベルシフト回路でハイサイドに伝達されます。それぞれの信号が RS フリップフロップ回路に入力され、Q (HOx) が出力されます。

図 12-3 のようにノイズなどの影響で VBx 端子と HSx 端子間 (VBx-HSx 間) の電圧が急変し、セッ ト信号伝達後に、リセット信号だけがハイサイドに伝達されない場合、ハイサイドの出力素子はオン固定になります。次の LINx 信号でローサイドの出力素子がオンすると同時オン状態となり、IC が破壊する可能性があります。

そこで、VBx 端子がノイズの影響を受けないように、 C_{BOOTx} は必ず IC の近くに配置し、できるだけ短いパターンで VBx-HSx 間に接続します。

電解コンデンサを使用する場合は、バイパスコンデンサ C_{Px} (0.01 μ F \sim 0.1 μ F)を並列挿入し、各端子にできるだけ短いパターンで接続します。

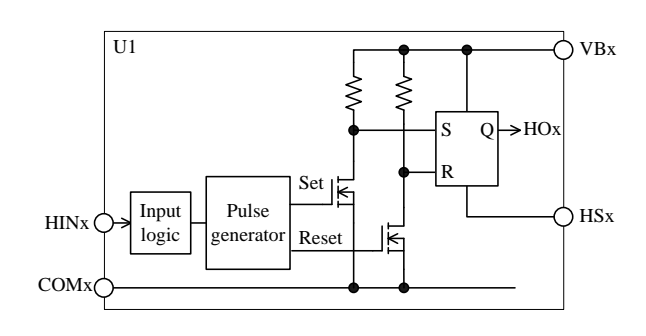


図 12-2 レベルシフト部回路図

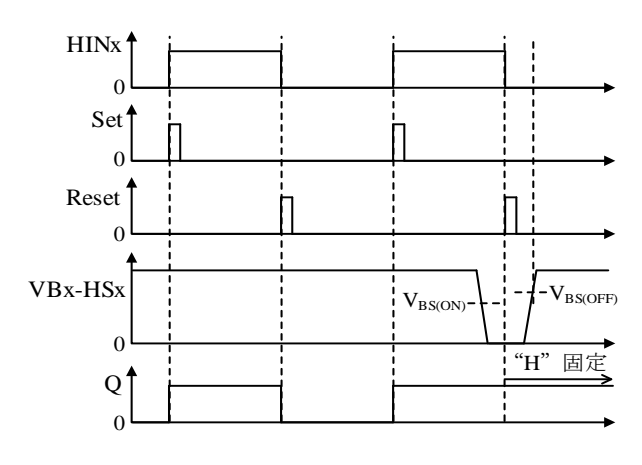


図 12-3 VBx-HSx 間電圧低下による誤動作波形

12.2.3. HS1、HS2、HS3 端子

各相のハイサイド・フローティング電源グランドです。ブートストラップコンデンサ C_{BOOTx} のマイナス側を接続します。HS1、HS2、HS3 端子は、IC 内部でそれぞれ U、V、W 端子に接続しています。

12.2.4. VCC1、VCC2、VCC3 端子

IC の制御回路電源入力端子です。VCC1、VCC2、

VCC3 端子は IC 内部では接続していないので、基板のパターンで接続します。電源リップルなどによる誤動作を防止するため、各端子にできるだけ短いパターンでコンデンサ C_{VCCx} (0.01 $\mu F \sim 0.1 \mu F$) を接続します。また、サージ電圧による破壊を防止するため VCCx 端子と COMx 端子間にツェナーダイオード DZ (18 $V \sim 20~V$) を接続します。

各相の VCCx 端子と COMx 端子間に印加する電圧は、推奨制御電源電圧 V_{CC} (2 項参照) を満たすように設定します。

12.2.5. COM1、COM2、COM3 端子

IC の制御グランド端子です。各相の制御部品はそれぞれのグランド端子に接続します。COM1、COM2、COM3 端子は IC 内部では接続していないので、基板のパターンで接続します。制御グランドの電位が変動すると IC の誤動作の原因となるため、制御グランドの配線はパワーグランドと分けて、シャント抵抗 Rsのできるだけ近くに 1 点で、かつできるだけ短く接続します(図 12-4 参照)。このとき、パワー系の電流の影響を受けないように配線には十分に配慮します。

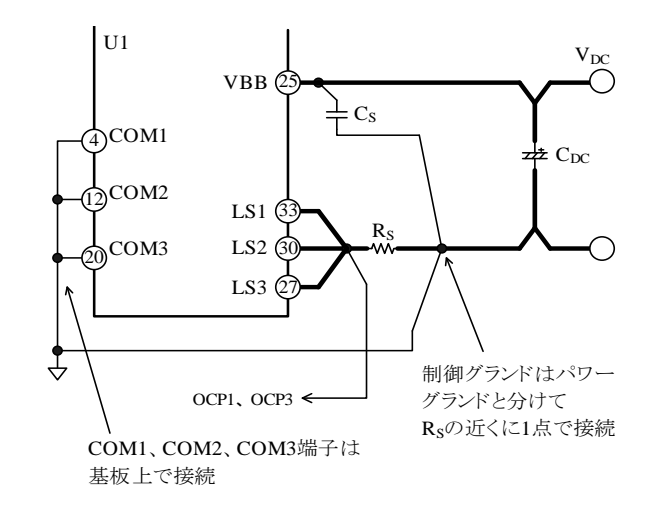


図 12-4 制御グランドの配線

12.2.6. HIN1、HIN2、HIN3 端子 LIN1、LIN2、LIN3 端子

モータ制御用の各相入力端子です。HINx 端子はハイサイドの制御信号入力、LINx 端子はローサイドの制御信号入力です。図 12-5 に HINx 端子、LINx 端子の内部回路図を示します。 $22 k\Omega$ のプルダウン抵抗を内蔵し、CMOS シュミットトリガ回路で構成しています。入力論理はアクティブハイ

です。

各相の HINx 端子と COMx 端子間、LINx 端子 COMx 端子間に印加する信号は表 12-1 の範囲に設定します。本 IC にはデッドタイム生成回路はありません。HINx、LINx 端子の入力信号は必ずデッドタイムの設定が必要です。

周波数が高くなるとスイッチング損失が増加するため、動作時のケース温度およびジャンクション温度が、1項 絶対最大定格の値に対し十分に余裕のある値になるよう、周波数を設定する必要があります。

マイコンからの入力信号が不定になると、IC が誤動作する可能性があるため、マイコンの出力はハイインピーダンスにならないように設定してください。また、マイコンから HINx、LINx 端子までの配線が長くノイズの影響を受けやすい場合は、図 12-6 のように入力フィルタやプルダウン抵抗をHINx、LINx 端子の近くに追加します。

フィルタの定数の目安は以下のとおりです。

$$\begin{split} R_{IN1x} : 33 \ \Omega {\sim} 100 \ \Omega \\ R_{IN2x} : 1 \ k\Omega {\sim} 10 \ k\Omega \\ C_{INx} : 100 \ pF {\sim} 1000 \ pF \end{split}$$

 R_{INIx} 、 R_{IN2x} を接続すると、HINx、LINx 端子の入力電圧がマイコンの出力電圧より少し低くなるため注意が必要です。

表 12-1 HINx、LINx 端子入力信号

項目	"H"レベル信号	"L"レベル信号	
入力電圧	$3 \text{ V} < V_{IN} < 5.5 \text{ V}$	$0 \text{ V} < V_{IN} < 0.5 \text{ V}$	
入力 パルス幅	≥0.5 μs	≥0.5 μs	
キャリア 周波数	≤20 kHz		
デッド タイム	≥1.5 μs		

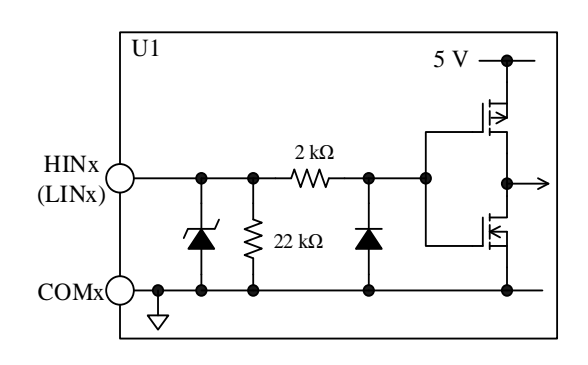


図 12-5 HINx 端子、LINx 端子の内部回路図

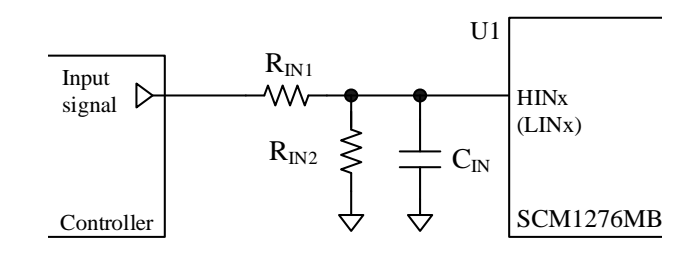


図 12-6 HINx 端子、LINx 端子のフィルタ回路

12.2.7. VBB 端子

DC (+) 電源入力端子です。全相のハイサイドの IGBT コレクタに接続されています。VBB 端子と COMx 端子間に印加する電圧は、主電源電圧 V_{DC} (2 項参照) を満たすように設定します。

VBB 端子には、サージ電圧を抑えるためコンデンサ C_S (0.01 μ F \sim 0.1 μ F) を接続します。 C_S は平滑用電解コンデンサ C_{DC} と VBB 端子のできるだけ近くに配置し、VBB 端子に最短で接続します。

12.2.8. LS1、LS2、LS3 端子

各相の IGBT エミッタ端子です。電流検出用のシャント抵抗 R_s を接続します。 R_s はインダクタンス成分が小さい抵抗を使用してください。また、 R_s は IC のできるだけ近くに配置し、LSx 端子とCOMx 端子に最短で接続します。配線のインダクタンス成分は誤動作の要因になるため、インダクタンス成分が極力小さくなるようにパターンを設計します。この配線が長い場合は、誤動作を防止するため LSx 端子と COMx 端子間に高速整流ダイオード D_{Rs} を接続します。

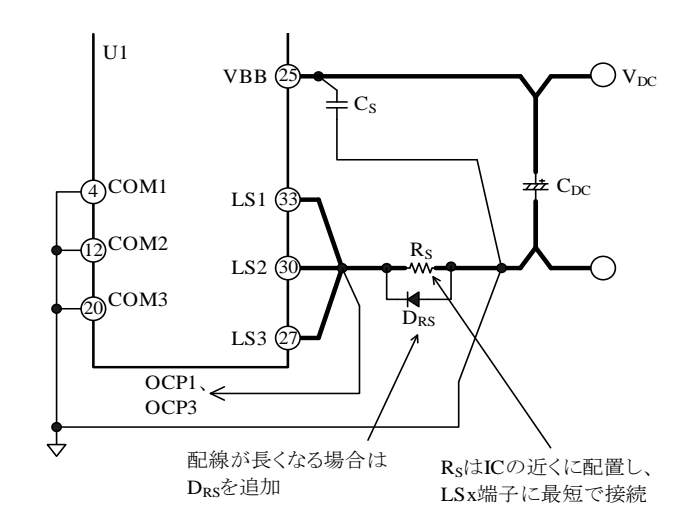


図 12-7 LSx 端子周りの配線

12.2.9. OCP1、OCP3 端子

出力素子に流れる電流の過電流保護信号を入力 する端子です。

OCPx 端子の周辺部品の設定および、過電流保護機能(OCP)の詳細は12.4.4 項を参照してください。

12.2.10. FO1 (U相)、FO2 (V相)、 FO3 端子 (W相)

各相のエラー出力および、シャットダウン信号 の入力端子です。機能の詳細は 12.4.1 項と 12.4.2 項を参照してください。

図 12-8 に FOx 端子の周辺回路と内部回路を示します。FOx 端子はオープンドレインになっているため、プルアップ抵抗 R_{FO} で外部電源に接続します。外部電源の電圧 V_{FO} は、 $3.0~V\sim5.5~V$ を接続します。FOx 端子のコンデンサ C_{FO} の容量は、 $0.01~\mu F$ 以下に設定してください。

エラー信号出力時の FOx 端子電圧とプルアップ 抵抗 R_{FO} は、図 12-10 の関係があります。 R_{FO} の値 が小さすぎると図 12-8 の Q_{FOx} のオン抵抗によりエラー信号出力時の FOx 端子電圧が高くなります。マイコンのローレベル入力しきい電圧を $V_{IL}=1.0~V$ とした場合、 R_{FO} は 3.3 $k\Omega\sim22~k\Omega$ を推奨します。

また、ノイズ除去用コンデンサ CFOは IC のでき るだけ近くに配置し、FOx 端子と COMx 端子の間 に最短で接続します。CFO を接続すると、図 12-9 のように遅延時間が発生します。遅延時間は、IC がエラーを検出して OFOx がオンしてから、FOx 端 子電圧が $V_{IL} = 1.0 \text{ V}$ になるまで(マイコンが"L"を 検出するまで)の時間です。図 12-11 に FO1、FO3 端子の遅延時間 tp(FO)、図 12-12 に FO2 端子の遅延 時間 t_{D(FO)2} と C_{FO}の関係を示します。過電流保護機 能(OCP)が動作した場合、繰り返しの OCP 動作を 避けるため、マイコンは QFOx がオンしてから t_P = 5 ms (温度特性を含む最小値) 以内に IC への 入力信号を停止する必要があります(詳細は12.4.4 項参照)。マイコンのローレベル入力しきい電圧 を V_{IL} = 1.0 V とした場合、 C_{FO} の値の目安は $0.001 \, \mu F \sim 0.01 \, \mu F \, \tau$

エラー信号検出時は、すぐにマイコンでモータの運転を停止する設定にしてください。その後、モータの運転を再開する場合は、少なくとも 2 秒以上経過してから、動作を再開させてください。

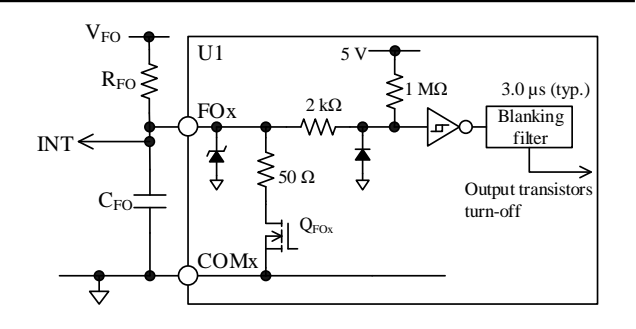


図 12-8 FOx 端子の周辺回路と内部回路

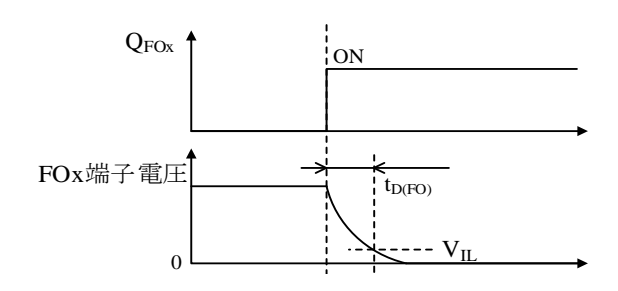


図 12-9 FOx 端子の遅延時間 t_{D(FO)}

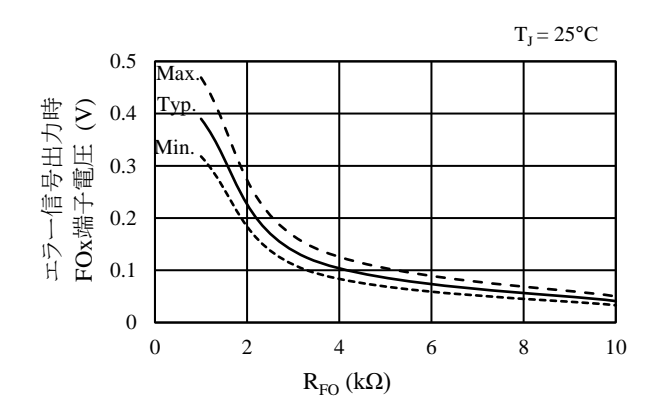


図 12-10 エラー信号出力時 FOx 端子電圧 - プルアップ抵抗 R_{FO} 特性

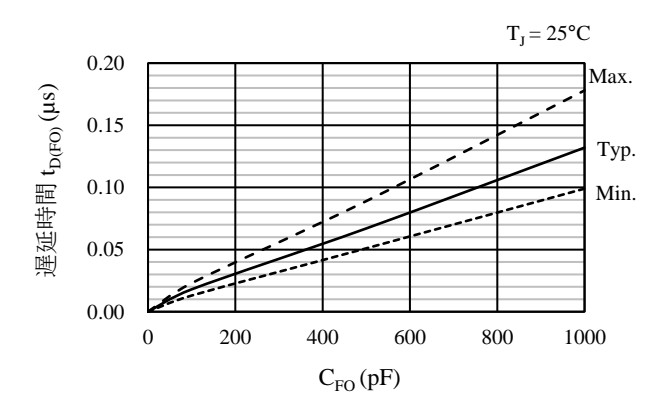


図 12-11 C_{FO}と FO1、FO3 端子遅延時間の関係

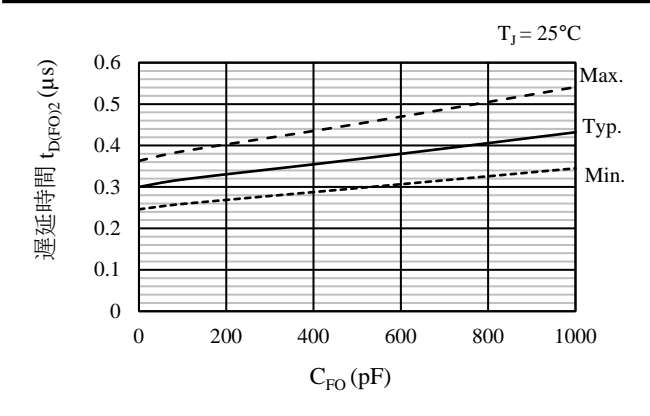


図 12-12 C_{FO}と FO2 端子遅延時間の関係

12.2.11. VT 端子

VT 端子は、温度モニタ電圧の出力端子です。マイコンへ接続して制御 IC のジャンクション温度のモニタができます(出力素子のジャンクション温度ではありません)。詳細は 12.3 項を参照してください。

12.3. 温度モニタ機能

VT 端子の温度モニタ電圧を使用して、制御 IC のジャンクション温度のモニタができます。本 IC は、過熱状態での保護動作や、エラー出力はありません。そのため、高温時は、温度モニタ電圧を参考に、マイコンからの入力信号を停止するなどして、IC のスイッチング動作を停止させます。VT 端子電圧の温度特性を図 12-13、ばらつきの詳細を表 12-2、表 12-3 に示します。

温度モニタ出力電圧は 3.0 V を超える可能性があります。VT 端子に接続するマイコンなどの保護用に、マイコンの電源とVT 端子の間にクランプダイオード DZ_{VT} を接続してください。

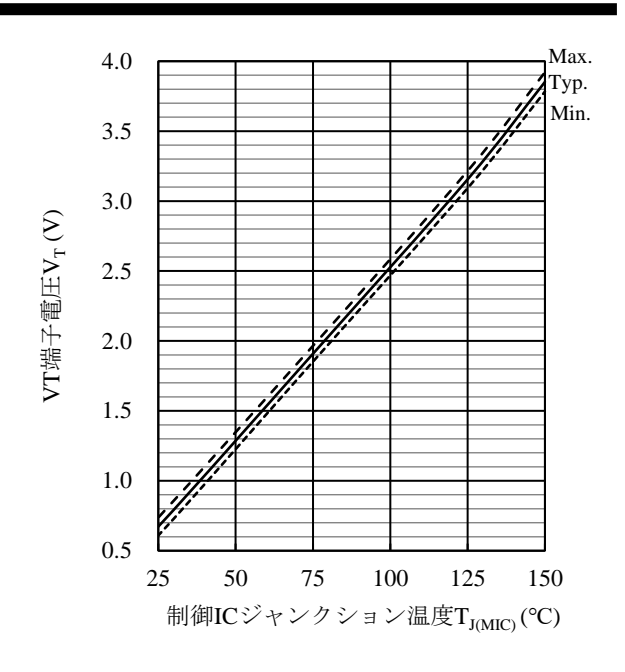


図 12-13 VT 端子電圧温度特性

表 12-2 VT 端子電圧に対する制御 IC ジャンク ション温度のばらつき

VT 端子電圧	制御 IC ジャンクション温度		
1.30 V	50 ± 4 °C		
3.15 V	125 ± 3 °C		

表 12-3 制御 IC ジャンクション温度に対する VT 端 子電圧のばらつき

制御 IC ジャンクション温度	VT 端子電圧	
50 °C	$1.30 \pm 0.10 \text{ V}$	
125 °C	$3.15 \pm 0.07 \text{ V}$	

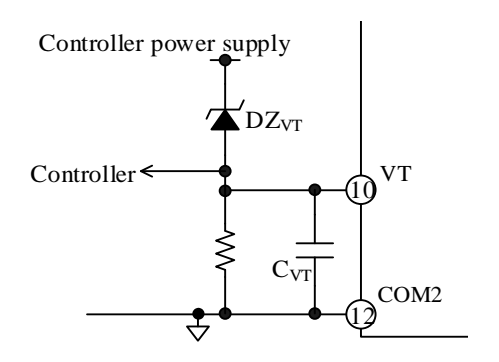


図 12-14 VT 端子周辺回路

12.4. 保護機能

SCM1276MB は電源電圧低下保護機能(UVLO: Undervoltage Lockout)、同時オン防止機能、過電流保護機能(OCP: Overcurrent Protection)を搭載しています。これらの保護機能動作時は、FOx 端子からエラー信号を出力し、マイコンから全相の動作を停止できます。また、マイコンからシャットダウン信号を FOx 端子に入力することもできます。以降の説明で使用する HOx はハイサイドスイッチのゲート入力、LOx はローサイドスイッチのゲート入力です(7 項参照)。VBx-HSx は VBx 端子と HSx 端子間の電圧です。

12.4.1. エラー出力

以下の保護機能が動作すると、FOx 端子に接続している内部の MOSFET (Q_{FOx}) がオンし、FOx 端子は"L"状態(≤ 0.5 V) になります。FO1 端子、FO3 端子、FO2 端子はショートして使用します。

- 1) ローサイド電源電圧低下保護機能(UVLO_VCC)
- 2) 過電流保護機能 (OCP)
- 3) 同時オン防止機能

FOx 端子が"L"の期間は、各相のハイサイドとローサイドの出力素子はオフになります。定常動作時の FOx 端子は"H"状態で、約 5 V を出力します。OCP 動作時の FOx 端子のエラー出力時間は、IC 内部で $t_P=10$ ms (typ.)に固定されています(12.4.4 項参照)。エラー信号は、マイコンの割込みポート(INT)に入力し、 t_P 以内に IC への入力信号を停止するなどの処理をします。その後、モータの運転を再開させる場合は、2 秒以上経過してから再開するように設定してください。

12.4.2. シャットダウン信号入力

FO1、FO3、FO2 端子は、シャットダウン信号を 入力できます。FOx 端子と FO2 端子を"L"にすると、 各相のハイサイドとローサイドの出力素子をオフ します。

入力するシャットダウン信号の電圧とパルス幅は、表 12-4 の範囲に設定します。

表 12-4 シャットダウン信号

項目	"H"レベル信号	"L"レベル信号
入力電圧	$3 \text{ V} < V_{IN} < 5.5 \text{ V}$	$0~V < V_{IN} \! < 0.5~V$
入力 パルス幅	≥3.0 µs	≥3.0 µs

本 IC は、図 12-15 のように FO1、FO3、FO2 端子をショートして使用します。U 相か W 相の MIC が異常を検出すると、すべての相のハイサイドとローサイドの出力素子をオフにできます。

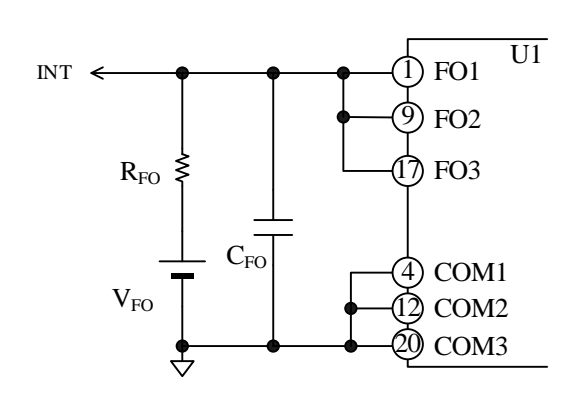


図 12-15 全相シャットダウン回路

12.4.3. 電源電圧低下保護機能(UVLO)

出力素子のゲート駆動電圧が低下すると、出力素子の定常損失が増加して熱破壊する場合があります。これを防止するために、電源電圧低下保護機能(UVLO)を搭載しています。UVLOはハイサイドとローサイドそれぞれに搭載しています。

12.4.3.1. ハイサイド (UVLO_VB)

図 12-16 にハイサイドの電源電圧低下保護機能 (UVLO_VB) 動作時の波形を示します。

VBx 端子と HSx 端子の間(VBx-HSx 間)電圧が制御動作停止電圧 $V_{BS(OFF)}=11.0$ V 以下になると UVLO VB が動作し、HOx を"L"にします。

VBx-HSx 間電圧が上昇し、制御動作開始電圧 $V_{BS(ON)}$ = 11.5 V 以上になると、 $UVLO_{L}VB$ を解除し最初の入力パルス(アップエッジ)を検出して HOx を"H"にします。 $UVLO_{L}VB$ 動作期間は、エラー信号が FOx 端子から出力されません。

ノイズなどによる誤動作を防止するため、VBx 端子には約 3 μs の $UVLO_VB$ フィルタを搭載しています。

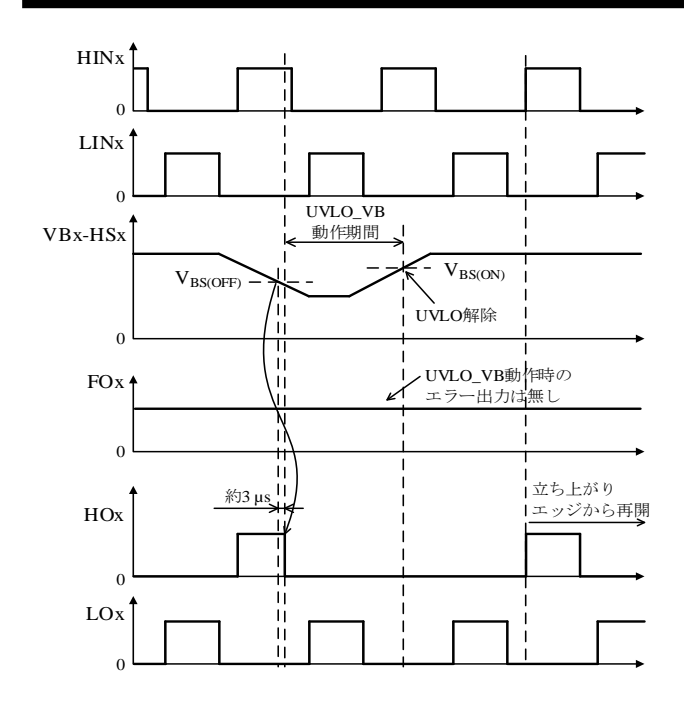


図 12-16 UVLO_VB 動作波形

12.4.3.2. ローサイド (UVLO_VCC)

図 12-17 にローサイドの電源電圧低下保護機能 (UVLO_VCC) 動作時の波形を示します。VCC1、 VCC2、VCC3 端子は、PCB 基板上でショートして 使用します。

VCCx 端子の電圧が制御動作停止電圧 $V_{CC(OFF)} = 11.0$ V以下になると UVLO_VCC が動作し、HOx、LOx を"L"にします。VCCx 端子の電圧が上昇し、制御動作開始電圧 $V_{CC(ON)} = 11.5$ V以上になると、UVLO_VCC を解除し、HOx、LOx はHINx、LINx 端子の入力信号に従って出力します。UVLO_VCC 動作期間は FOx 端子出力が"L"になり、エラー信号を出力します。

ノイズなどによる誤動作を防止するため、VCCx 端子には約 3 μs の $UVLO_VCC$ フィルタを搭載しています。

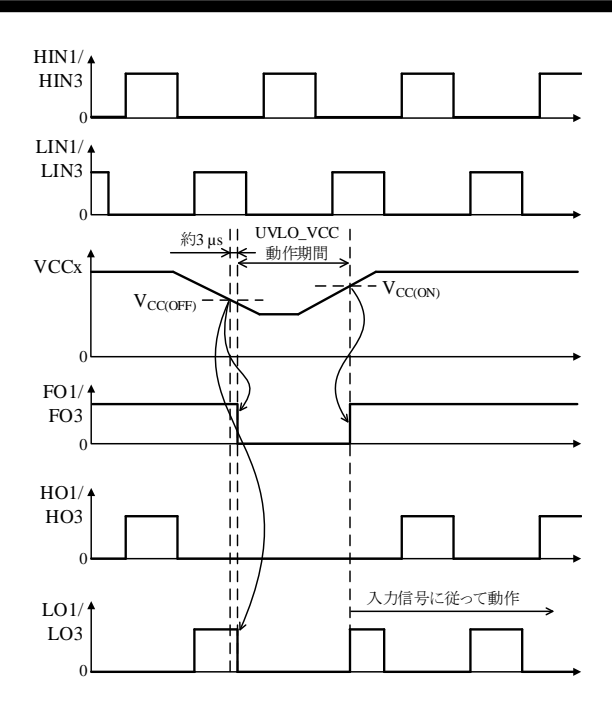


図 12-17 UVLO_VCC 動作波形(U相、W相)

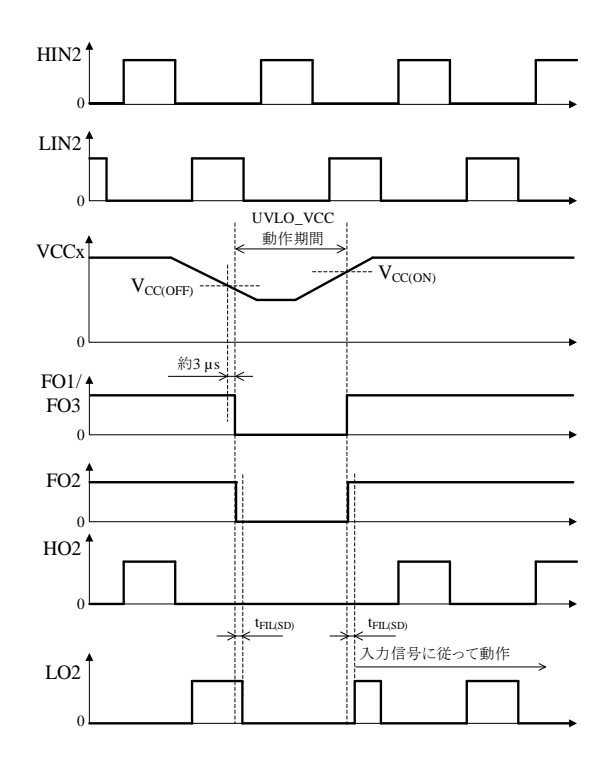


図 12-18 UVLO_VCC 動作波形 (V 相)

12.4.4. 過電流保護機能 (OCP)

U 相と W 相の制御回路には、過電流保護機能 (OCP)が搭載されています。図 12-19 に OCPx 端子の周辺回路図と内部回路図を示します。図 12-19 のようにシャント抵抗 R_S の電圧を OCPx 端子に入力

し、過電流を検出します。OCPx 端子は内部でプルダウンしており、 R_S に電流が流れると、電流に比例してOCPx 端子電圧が上昇します。

図 12-20 に OCP1 (U 相) または OCP3 (W 相) が過電流状態を検出し、OCP が動作した場合の波形を示します。過大電流が流れて OCPx 端子の電圧が過電流保護動作電圧 $V_{TRIP}=0.50$ V 以上になり、その状態をブランキング時間 $t_{BK}=370$ ns 以上継続すると、OCP が動作します。OCP が動作すると、内部遅延時間 $t_{DELAY}=0.3$ μ s 後に OCP が動作した相の出力素子をオフして FOx 端子を"L"にします。出力素子をオフにすると出力の電流は低下します。OCPx 端子電圧が V_{TRIP} 未満に低下しても、IC はFOx 端子の出力を一定時間(過電流保護保持時間 $t_P=10$ μ s)"L"に保持します。その後、入力信号に従って動作します。

なお、V 相の制御回路には OCP が無いため、V 相の過電流信号を U 相または W 相の検出端子 (OCPx) に入力します。U 相と W 相の FOx 端子 と、V 相の FO2 端子は接続されているため、OCPx 端子が過電流を検出して、FOx 端子を"L"にすると、FO2 端子も"L"になり、FO2 端子フィルタ時間 $t_{FIL(FO2)} = 300$ ns 経過後に V 相の出力素子をオフにします(図 12-21)。

FOx 端子のコンデンサ C_{FO} の容量は、V 相出力素子をオフするまでの遅延時間に影響します。遅延時間が長すぎると、過電流により出力素子が破壊する可能性があるため、 C_{FO} は 1000~pF 以下に設定してください。

過電流保護機能の目的は、出力素子の短絡などの異常状態の検出です。短絡モードを繰り返すと出力素子が破壊する可能性があるため、エラー信号検出時は、すぐにマイコンでモータの運転を停止する設定にしてください。

エラー信号はマイコンの割込みポート (INT) に入力し、t_P以内に IC への入力信号を停止するなどの処理をします。その後、モータの運転を再開させる場合は、2 秒以上経過してから再開するように設定してください。

シャント抵抗は、以下の条件を満たすように設定します。

- シャント抵抗推奨値 Rs を満たす値(2項参照)
- OCPx 端子の入力電圧が絶対最大定格 OCPx 端 子電圧 V_{OCP}の範囲内(1 項参照)
- 出力素子に流れる電流が絶対最大定格 出力電流 (パルス) I_{OP}未満 (1項参照)

 R_S は高周波スイッチング電流が流れるので、内部インダクタンスが小さく、かつ許容損失を満足するものを使用します。

OCPx 端子に接続する CR フィルタ (Ro、Co) の

値を設定する際、 R_O と C_O の時定数が大きすぎると OCPx 端子電圧が V_{TRIP} になるまでに時間がかかり、出力素子が破壊する可能性があります。IC の遅れ時間を考慮し、 R_O と C_O の時定数は $0.82~\mu s$ 以下に設定します。 C_O は IC の近くに配置し、OCPx 端子と COMx 端子に最短で接続します。

U、V、W 端子やその配線がグランドと短絡(地絡)すると、IC は過電流を検出できません。地絡モードになると出力素子が破壊する可能性があるため、注意が必要です。

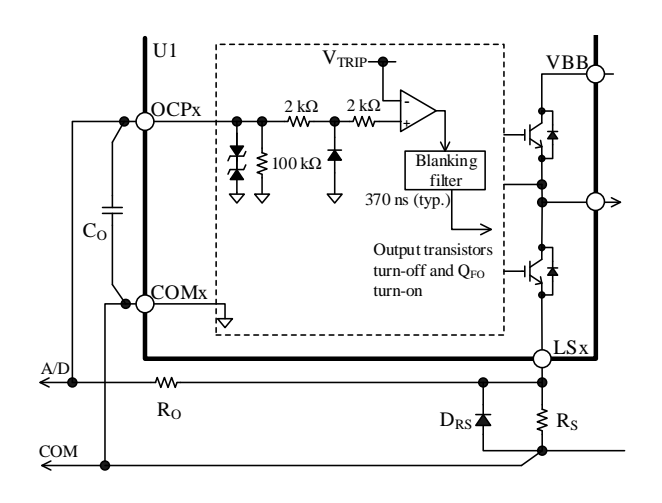


図 12-19 OCPx 端子の周辺回路と内部回路図

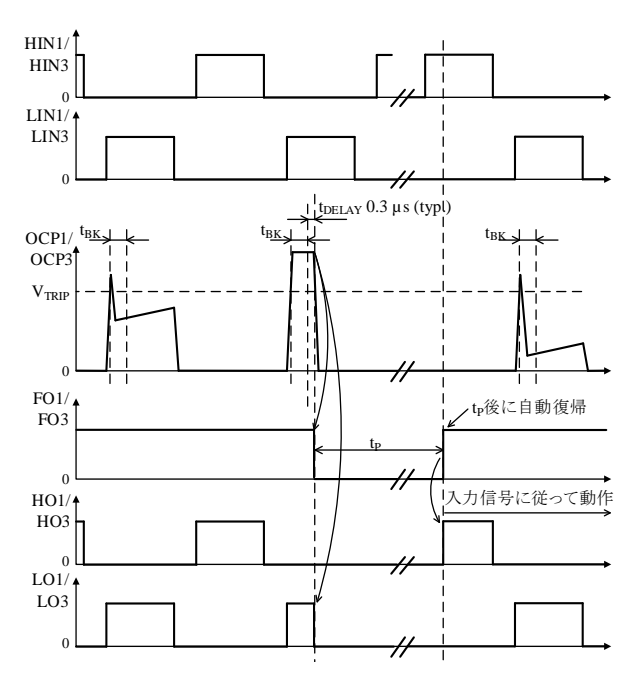


図 12-20 OCP 動作波形(U相、W相)

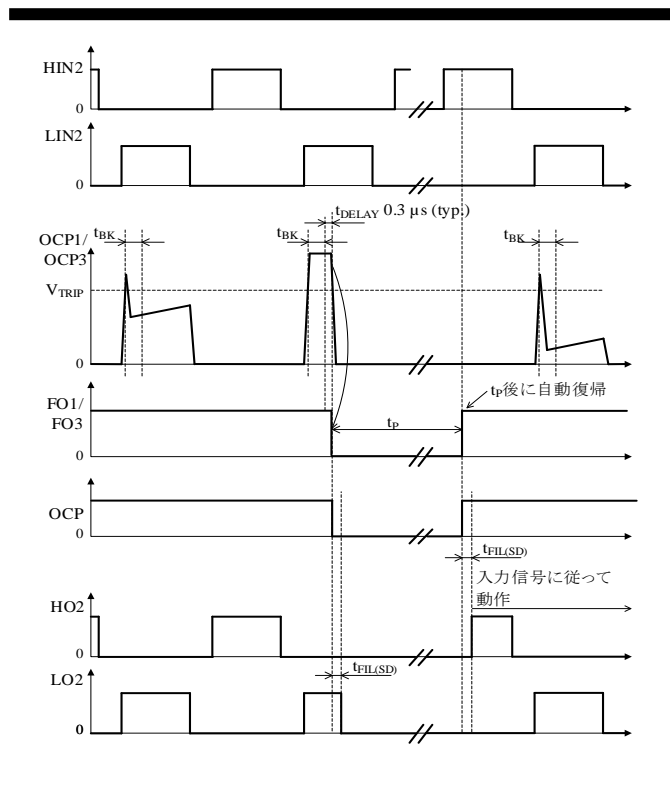


図 12-21 OCP 動作波形 (V相)

12.4.5. 短絡時過電流保護機能(SCP)

LS2 端子(V 相)には短絡時過電流保護機能(SCP: Short Circuit Protection)が搭載されています。検出抵抗 R_S に過大電流が流れ、LS2 端子の電圧が $V_{SCPT}=2.5$ V 以上の状態を短絡時過電流保護ブランキング時間 $t_{BK(SCP)}=810$ ns 以上継続すると、SCP が動作します。SCP が動作すると、内部遅延時間 $t_{D(SCP)}=0.9$ μ_S 後に V 相の出力素子をオフしてFO2 端子を"L"にします。出力素子をオフにすると出力の電流は低下します。LS2 端子電圧が V_{SCPT} 未満に低下しても、IC は FO2 端子の出力を一定時間($t_P=10$ ms)"L"に保持します。その後、入力信号に従って動作します。

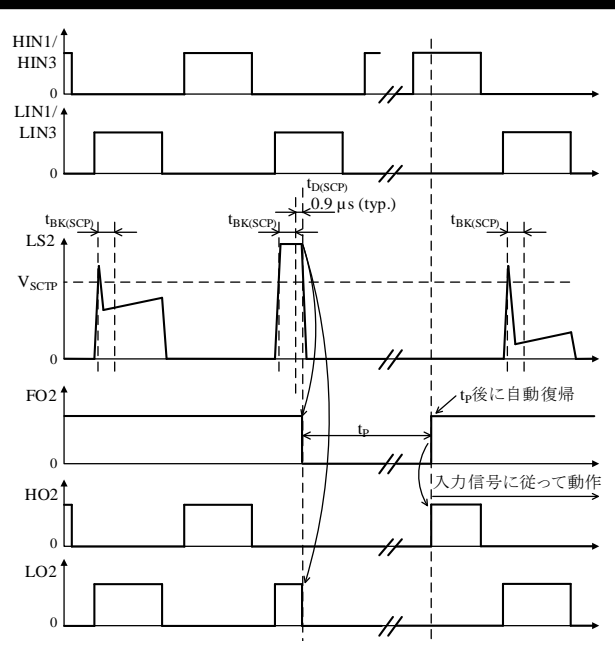


図 12-22 SCP 動作波形 (V相)

12.4.6. 同時オン防止機能

信号の誤入力やノイズの影響により、HINx 端子と LINx 端子に同時に"H"信号を入力した場合、ハイサイドとローサイドの出力素子が同時にオンし、過大な電流が流れて出力素子が破壊する場合があります。これを防止するために同時オン防止機能を搭載しています。図 12-23 に同時オン防止機能の動作波形を示します。

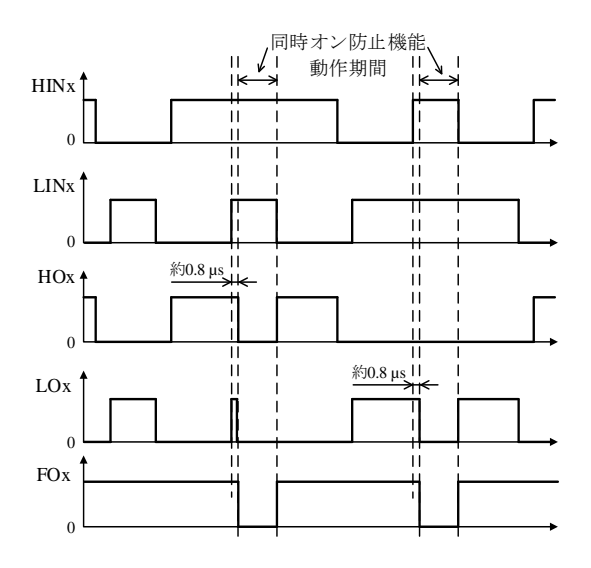


図 12-23 同時オン防止機能動作波形

図 12-23 のように、HINx 端子と LINx 端子に同時に"H"を入力した場合、同時オン防止機能が動作

し、ハイサイドとローサイドの出力素子をオフにします。同時オン防止機能動作期間は FOx 端子出力が"L"になり、エラー信号を出力します。同時オン状態が解消すると、HOx、LOx は、HINx、LINx 端子の入力信号に従って出力します。

ノイズなどによる誤動作を防止するため、同時 オン防止回路には約 0.8 μs のフィルタを搭載して います。同時オン防止機能にはデッドタイム生成 回路はありません。HINx、LINx 端子の入力信号は デッドタイムの設定が必要です(12.2.6 項参照)。

12.4.7. サーマルシャットダウン (TSD)

本 IC の U 相と W 相の制御回路にはサーマル シャットダウン (TSD: Thermal Shutdown) 回路が 搭載されています(7項ブロックダイアグラム参 照)。過負荷による消費電力の増加や IC 周囲温度 の上昇などで IC が過熱状態になり、制御部 (U相 または W 相) の温度がサーマルシャットダウン動 作温度 T_{DH} = 150 °C (typ.)を超えると、TSD が動作 します。TSD が動作すると、TSD を検出した相の ハイサイドとローサイドの出力スイッチング素子 をオフにし、エラー信号を出力します(図 12-24 参 照)。その後、制御部の温度がサーマルシャット ダウン動作解除温度 T_{DL} = 120 °C (typ.)以下になる と TSD を解除します。TSD 解除後は入力信号に 従って動作します。TSD 動作時にすべての出力素 子をオフするために、FO1、FO2、FO3 端子は、基 板上で必ず接続してください。また、出力スイッ チング素子のジャンクション温度と検出温度は一 致しないため、過熱破壊防止用として TSD 機能を 使用しないでください。

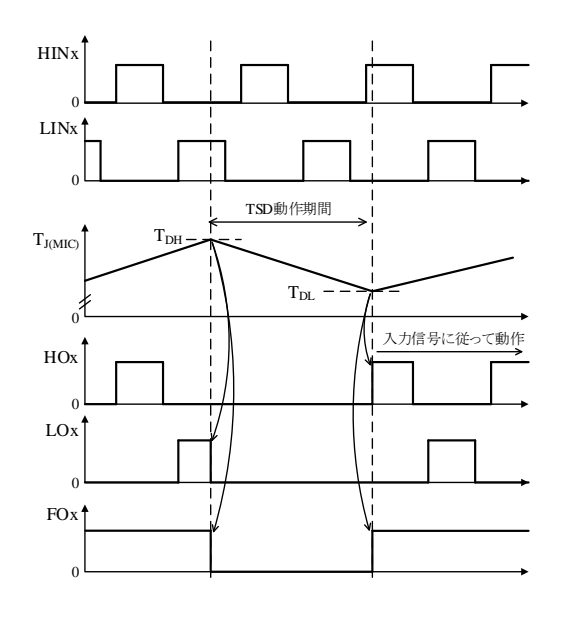


図 12-24 TSD 動作波形 (U 相、W 相)

13. 設計上の注意点

本項の端子記号は前項と同様の表記方法を用います。

13.1. パターンレイアウト

図 13-1 のようにモータドライバは、高周波かつ 高電圧の電流経路が存在し、基板のパターンや部品の実装条件が、動作、ノイズ、損失などに大きく影響します。そのため、<u>高周波電流ループは極力小さく、パターンを太く</u>して、ラインインピーダンスを低くする必要があります。また、グランドラインは輻射ノイズに大きな影響を与えるため、<u>極力太く、短く</u>配線します。

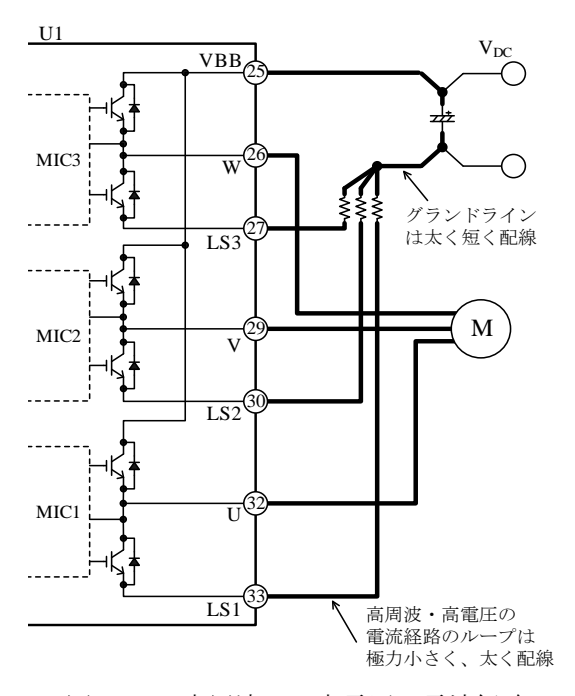


図 13-1 高周波かつ高電圧の電流経路

13.2. 放熱器を取り付ける際の注意

放熱器を取り付ける際には以下の注意が必要です。

- φ7.0 の平座金と M3 のネジを使用してください。 トルクドライバを使用し、締付けトルクの最大値の 30%を目安に 2 か所のネジを仮締めしてから、4 項 機械的特性の締付けトルクの範囲で固定してください。
- 放熱器を取り付ける場合はシリコーングリースの使用を推奨します。放熱シート、絶縁シートは締付け時にしわが発生し、パッケージが割れる原因になるため、これらを使用する際には、

十分な検討が必要です。

- シリコーングリースを塗布する際は、放熱器と IC の間に異物がないことを確認してください。 また、製品の端子に極力付着しないように注意 が必要です。シリコーングリースの塗布条件は 以下のとおりです。
 - 塗布厚:100 μm
 - 放熱器の平坦度:±100 μm
 - 放熱器に塗布する場合の推奨塗布範囲は 図13-2参照

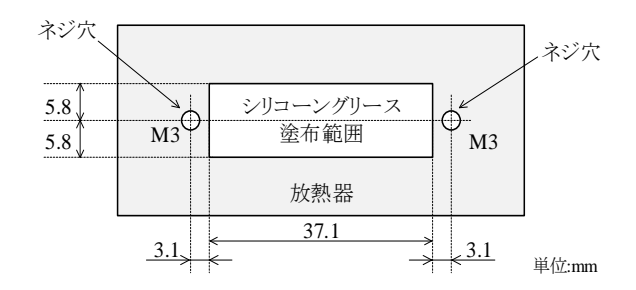


図 13-2 シリコーングリースの塗布範囲 (参考)

Q₁₁ Q₁₁ Q₁₁ Q₁₁ Q₁₁ Q₁₂ Q₁₃ Q₂₄ Q₂₄ Q₂₄ Q₃₄ Q₃₄ Q₃₄ Q₃₄ Q₃₄ Q₃₄ Q₃₄ Q₃₅ Q₃₆ Q₃₆ Q₃₆ Q₃₇ Q₃₈ Q₃₈

図 13-3 U相ハイサイド素子(QIH)耐圧測定回路

13.3. IC の特性を測定する際の注意

IC 単体で内部の出力素子の耐圧やリーク電流を 測定する場合、各出力素子のゲートとエミッタは 同電位である必要があります。また、ハイサイド のすべてのコレクタが IC 内部で VBB 端子に接続 しているため、注意が必要です。

出力端子(U、V、W)は各相のハイサイド素子のエミッタ、LSx端子は各相のローサイド素子のエミッタに接続しています。また、ハイサイド素子のゲートは出力端子、ローサイド素子のゲートはCOMx端子にプルダウンされています。

IC 単体で内部のスイッチング素子の耐圧やリーク電流を測定する場合は、出力端子、LSx 端子、COMx 端子を適切に処理して耐圧やリーク電流を測定しないと、出力素子を破壊する可能性があるため、注意が必要です。

例として、図 13-3 に U 相ハイサイド素子(QIH)、図 13-4 に U 相ローサイド素子(QIL)の耐圧測定回路を示します。記載のない端子はすべてオープンです。耐圧やリーク電流の測定時は、測定する相のグランドと測定しない相のグランドを分離します。測定しない相の LSx 端子、COMx 端子は、フローティング状態で同電位にします。

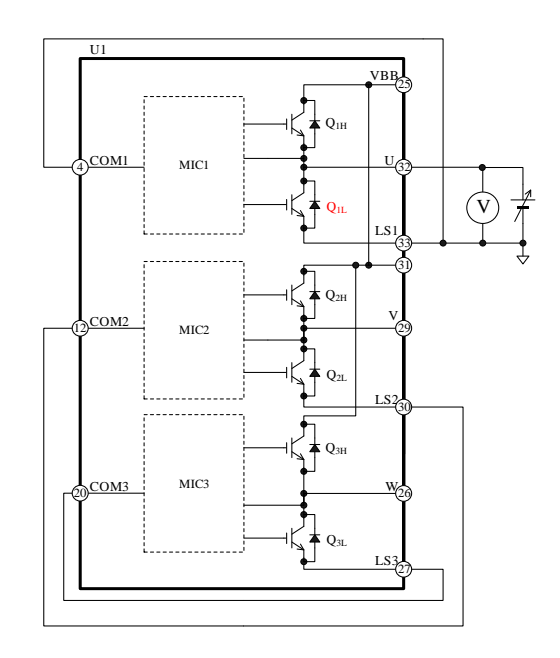


図 13-4 U相ローサイド素子(Q_{IL})耐圧測定回路

14. 損失の計算とジャンクション温度の 推定

正弦波駆動、3 相変調方式において、出力素子の 損失とジャンクション温度(1 素子動作時)の推定 方法を以下に示します。

なお、損失とジャンクション温度は、弊社 HP に 掲載している計算ツールを用いて簡単に計算でき ます。

● DT0106: SCM1276MB 損失計算ツール https://www.semicon.sanken-ele.co.jp/calctool/igbt1 caltool2 jp.html

出力素子の損失は、IGBT の定常損失 P_{ON} 、IGBT のスイッチング損失 P_{SW} 、フリーホイールダイオードの定常損失 P_F の合計です。これらの損失(P_{ON} 、 P_{SW} 、 P_F)と、IGBT およびフリーホイールダイオードのジャンクション温度(1 素子動作時)は、以下の手順で算出します。

14.1. IGBT の定常損失 Pon

定常損失 P_{ON} は、15.3.1 項の $V_{CE(SAT)} - I_C$ 特性より、図 14-1 のように I_C の使用範囲における 1 次近似式($V_{CE(SAT)} = \alpha \times I_C + \beta$)を算出します。

IGBT の定常損失 P_{ON} は、この 1 次近似式の係数を用いて、次式で計算できます。

$$P_{ON} = \frac{1}{2\pi} \int_{0}^{\pi} V_{CE(SAT)} (\phi) \times I_{C}(\phi) \times DT \times d\phi$$

$$\begin{split} &= \frac{1}{2}\alpha \left(\frac{1}{2} + \frac{4}{3\pi} M \times \cos\theta\right) {I_M}^2 \\ &\quad + \frac{\sqrt{2}}{\pi} \beta \left(\frac{1}{2} + \frac{\pi}{8} M \times \cos\theta\right) {I_M} \end{split} \tag{4}$$

ここで、

V_{CE(SAT)}: IGBT のコレクタ-エミッタ間飽和電圧 (V)

I_C: IGBT のコレクタ電流(A)

DT: オンデューティ

$$DT = \frac{1 + M \times \sin(\phi + \theta)}{2}$$

M:変調率 (0~1)

 $\cos\theta$: モータ力率(0~1) I_M : モータ電流実効値(A)

α: V_{CE(SAT)}-I_C 特性の1次近似式の傾き

β: V_{CE(SAT)} - I_C 特性の1次近似式の切片

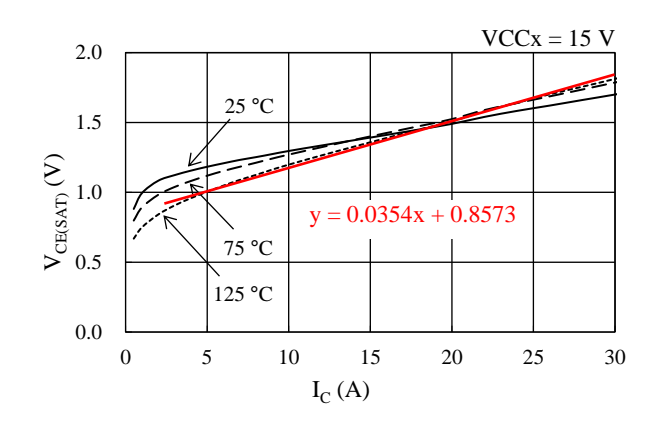


図 14-1 V_{CE(SAT)} - I_C 特性の 1 次近似式

14.2. IGBT のスイッチング損失 Psw

モータの実効電流が I_M のときの IGBT のスイッチング損失 P_{SW} は、式(5)で算出できます。

$$P_{SW} = \frac{\sqrt{2}}{\pi} \times f_C \times \alpha_E \times I_M \times \frac{V_{DC}}{300}$$
 (5)

ここで、

f_C: PWM キャリア周波数 (Hz)

 V_{DC} : 主電源電圧(V)(VBB 端子入力電圧) α_E : スイッチング損失グラフの傾き(15.3.2 項参照)

14.3. IGBT のジャンクション温度の推定

1 素子動作時の IGBT のジャンクション温度 T_J は式(6)で推定できます。

$$T_I = R_{(I-C)O} \times (P_{ON} + P_{SW}) + T_C$$
 (6)

 $R_{(J-C)Q}: 1$ 素子動作時の IGBT のジャンクション-ケース間熱抵抗($^{\circ}$ C/W)

T_C: ケース温度 (°C) (測定位置は図 3-1 参照)

14.4. フリーホイールダイオードの定常損 失 **P**_E

フリーホイールダイオードの定常損失 P_F は、15.3.1 項の V_F の I_F 特性より、図 14-2 のように I_F の使用範囲における 1 次近似式(V_F = $\alpha \times I_F$ + β)を算出します。

フリーホイールダイオードの定常損失 P_F は、この 1 次近似式の係数を用いて、次式で計算できます。

$$P_{F} = \frac{1}{2\pi} \int_{0}^{\pi} V_{F}(\phi) \times I_{F}(\phi) \times (1 - DT) \times d\phi$$

$$\begin{split} &= \frac{1}{2} \alpha \left(\frac{1}{2} - \frac{4}{3\pi} M \times \cos \theta \right) I_{M}^{2} \\ &\quad + \frac{\sqrt{2}}{\pi} \beta \left(\frac{1}{2} - \frac{\pi}{8} M \times \cos \theta \right) I_{M} \end{split} \tag{7}$$

ここで、

 V_F : フリーホイールダイオードの順電圧 (V) I_F : フリーホイールダイオードの順電流 (A)

DT: オンデューティ

$$DT = \frac{1 + M \times \sin(\phi + \theta)}{2}$$

M:変調率 (0~1)

 $\cos\theta$: モータ力率 (0~1) I_M : モータ電流実効値 (A)

 $\alpha: V_{F}-I_{F}$ 特性の1次近似式の傾き $\beta: V_{F}-I_{F}$ 特性の1次近似式の切片

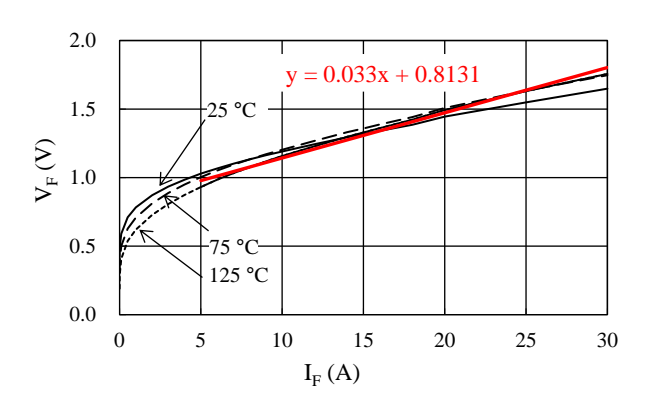


図 14-2 V_F-I_F特性の1次近似式

14.5. フリーホイールダイオードのジャン クション温度の推定

1 素子動作時のフリーホイールダイオードの ジャンクション温度 T_Jは次式で推定できます。

$$T_{I} = R_{(I-C)F} \times P_{F} + T_{C}$$
(8)

ここで、

 $R_{\text{U-C)F}}: 1$ 素子動作時のフリーホイールダイオードのジャンクション-ケース間熱抵抗 ($^{\circ}$ C/W) $T_{\text{C}}:$ ケース温度 ($^{\circ}$ C) (測定位置は図 3-1 参照)

15. 代表特性グラフ

15.1. 過渡熱抵抗特性グラフ

以下に、定常熱抵抗を1とした場合の過渡熱抵抗(過渡熱抵抗比率)を示します。

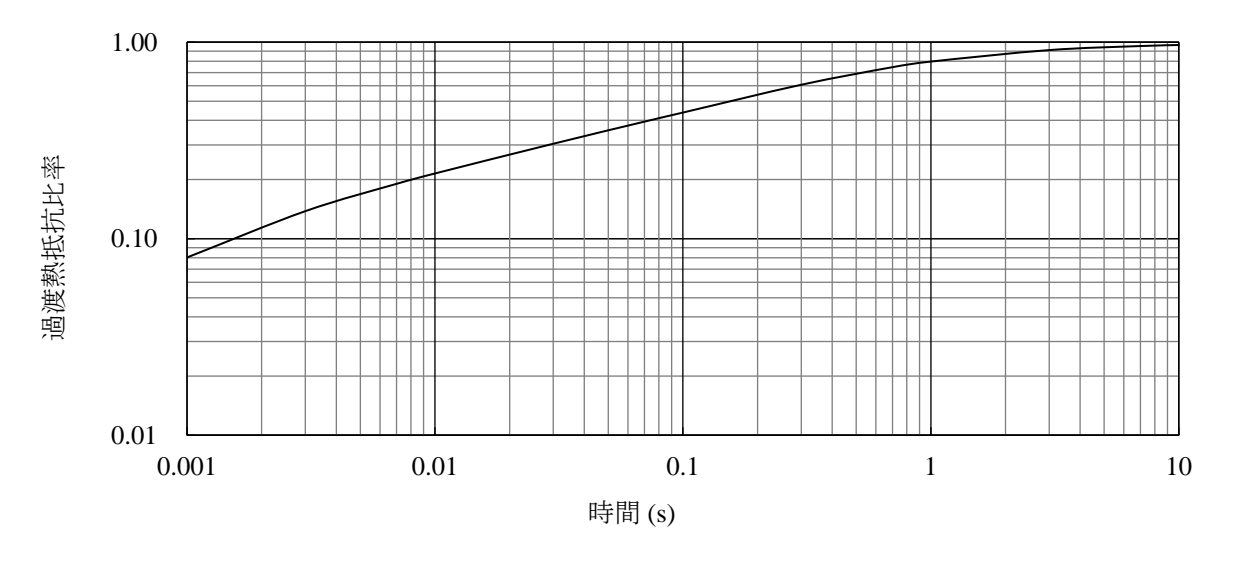


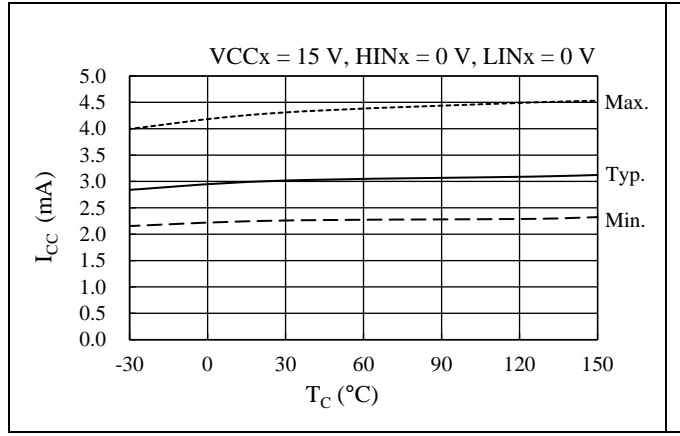
図 15-1 過渡熱抵抗比率

15.2. 制御部代表特性グラフ

図 15-2~図 15-24 に制御部の各種依存性および温度特性を示します。 T_J は制御部のジャンクション温度です。

表 15-1 制御部代表特性一覧

図番号	表題	
図 15-2	制御電源電流(3 相)I _{CC} 温度特性	
図 15-3	VCCx 端子電圧 V _{CC} – 制御電源電流(3 相)I _{CC} 特性	
図 15-4	制御電源電流 (1 相) I _{BS} 温度特性 (HINx = 0 V)	
図 15-5	制御電源電流(1 相)I _{BS} 温度特性(HINx = 5 V)	
図 15-6	VBx 端子電圧 V_{B-} 制御電源電流(1 相) I_{BS} 特性($HINx=0$ V)	
図 15-7	制御動作開始電圧 V _{BS(ON)} 温度特性	
図 15-8	制御動作停止電圧 V _{BS(OFF)} 温度特性	
図 15-9	制御動作開始電圧 V _{CC(ON)} 温度特性	
図 15-10	制御動作停止電圧 V _{CC(OFF)} 温度特性	
図 15-11	UVLO_VB フィルタ時間温度特性	
図 15-12	UVLO_VCC フィルタ時間温度特性	
図 15-13	HINx 端子、LINx 端子入力電流 I _{IN} 温度特性	
図 15-14	ハイレベル入力しきい電圧 V _{II} 温度特性	
図 15-15	ローレベル入力しきい電圧 V_{IL} 温度特性	
図 15-16	ハイサイド最小応答パルス幅 t _{HIN(MIN)} 温度特性	
図 15-17	ローサイド最小応答パルス幅 t _{LIN(MIN)} 温度特性	
図 15-18	定常動作時 FOx 端子電圧 V _{FOL} 温度特性	
図 15-19	過電流保護動作電圧 V _{TRIP} 温度特性	
図 15-20	短絡時過電流保護動作電圧 V _{SCPT} 温度特性	
図 15-21	過電流保護ブランキング時間 t _{BK(OCP)} + 内部遅延時間 t _{D(OCP)} 温度特性	
図 15-22	短絡時過電流保護ブランキング時間 t _{BK(SCP)} + 内部遅延時間 t _{D(SCP)} 温度特性	
図 15-23	過電流保護保持時間 tp 温度特性	
図 15-24	同時オン防止機能フィルタ時間温度特性	
図 15-25	VT 端子出力電圧 V _T 温度特性	



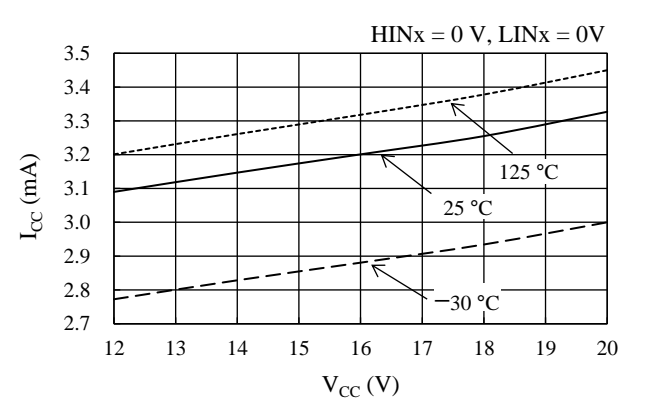
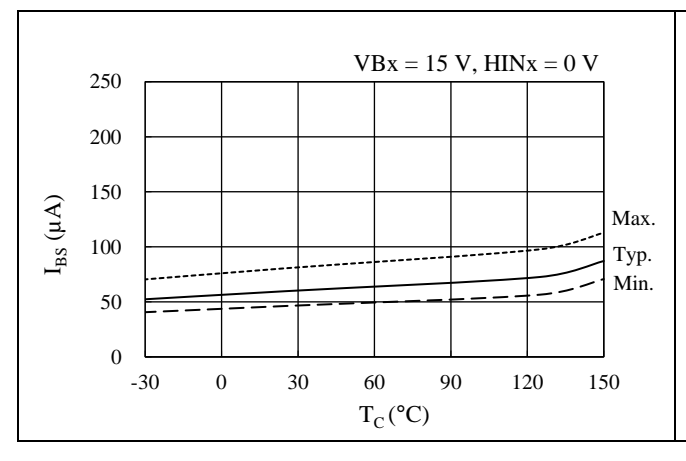


図 15-2 制御電源電流 (3 相) I_{CC} 温度特性

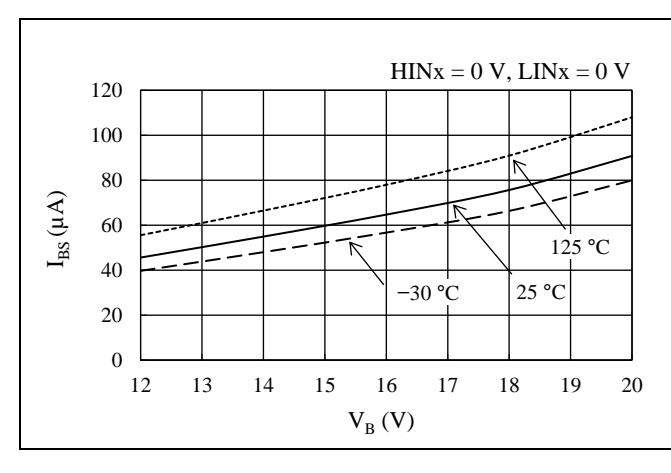
図 15-3 VCCx 端子電圧 V_{CC} – 制御電源電流(3 相)I_{CC}特性



VBx = 15 V, HINx = 5 V250 200 Max. 150 $I_{BS}\left(\mu A\right)$ Typ. 100 Min. 50 0 -30 0 60 120 150 $T_C(^{\circ}C)$

図 15-4 制御電源電流 (1 相) I_{BS} 温度特性 (HINx = 0 V)

図 15-5 制御電源電流(1 相)I_{BS} 温度特性 (HINx = 5 V)



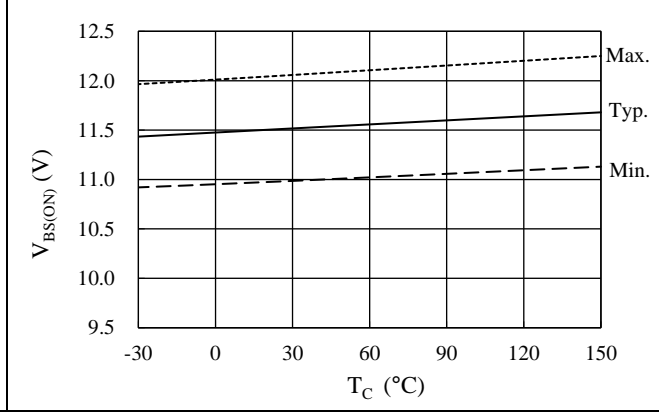


図 15-6 VBx 端子電圧 V_B - 制御電源電流 (1 相) I_{BS} 特性(HINx = 0 V)

図 15-7 制御動作開始電圧 V_{BS(ON)}温度特性

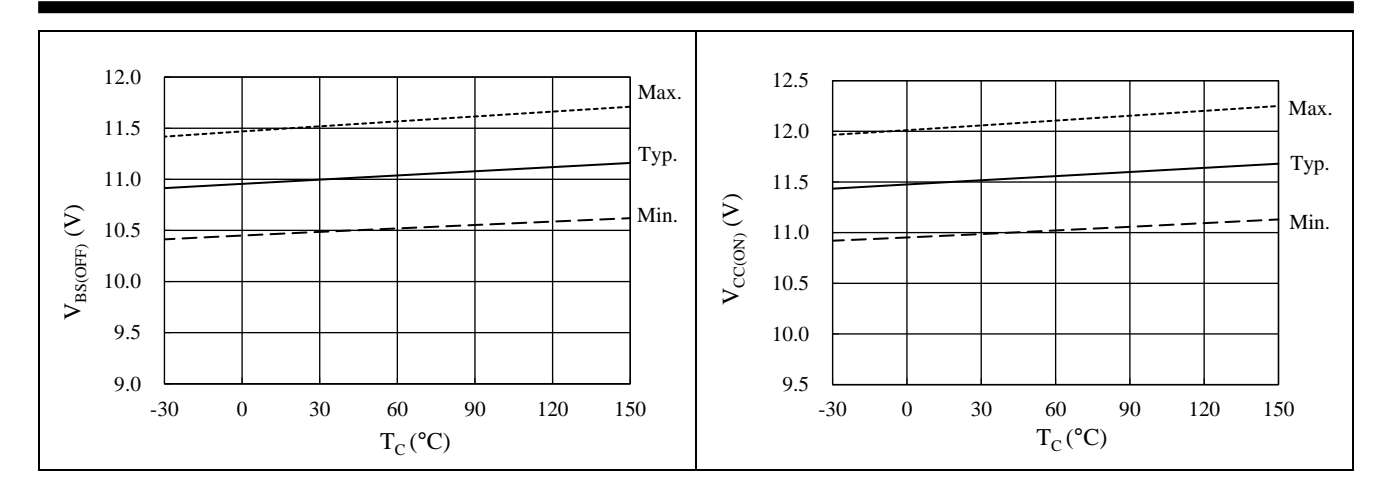


図 15-8 制御動作停止電圧 V_{BS(OFF)}温度特性

図 15-9 制御動作開始電圧 V_{CC(ON)}温度特性

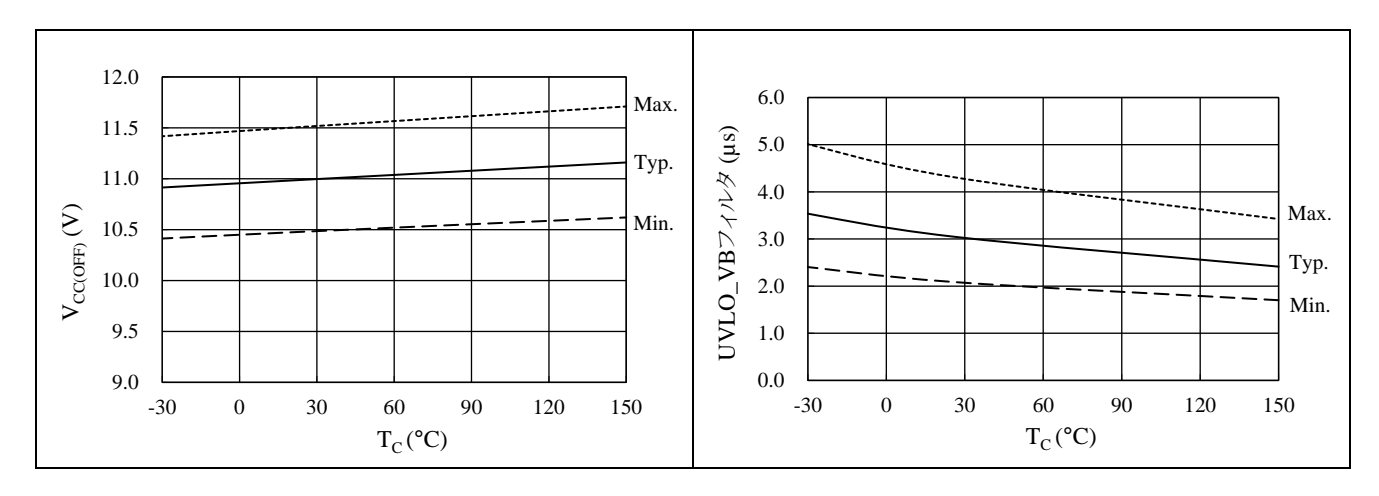


図 15-10 制御動作停止電圧 V_{CC(OFF)}温度特性

図 15-11 UVLO_VB フィルタ時間温度特性

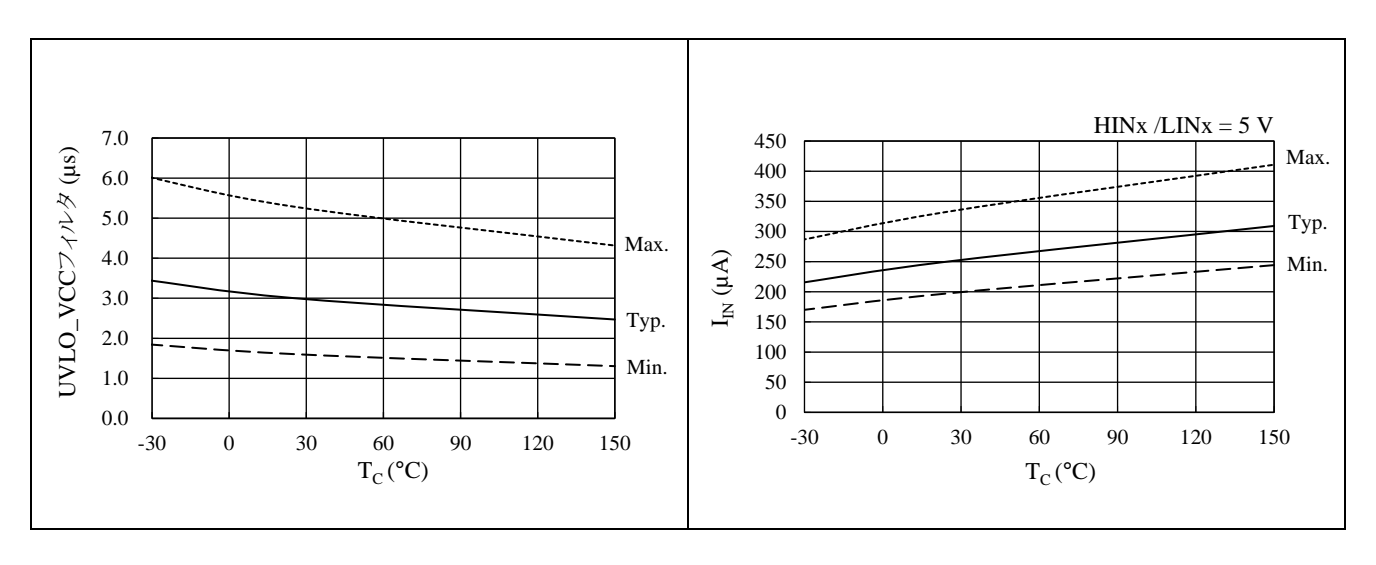


図 15-12 UVLO_VCC フィルタ時間温度特性

図 15-13 HINx 端子、LINx 端子入力電流 I_{IN} 温度特性

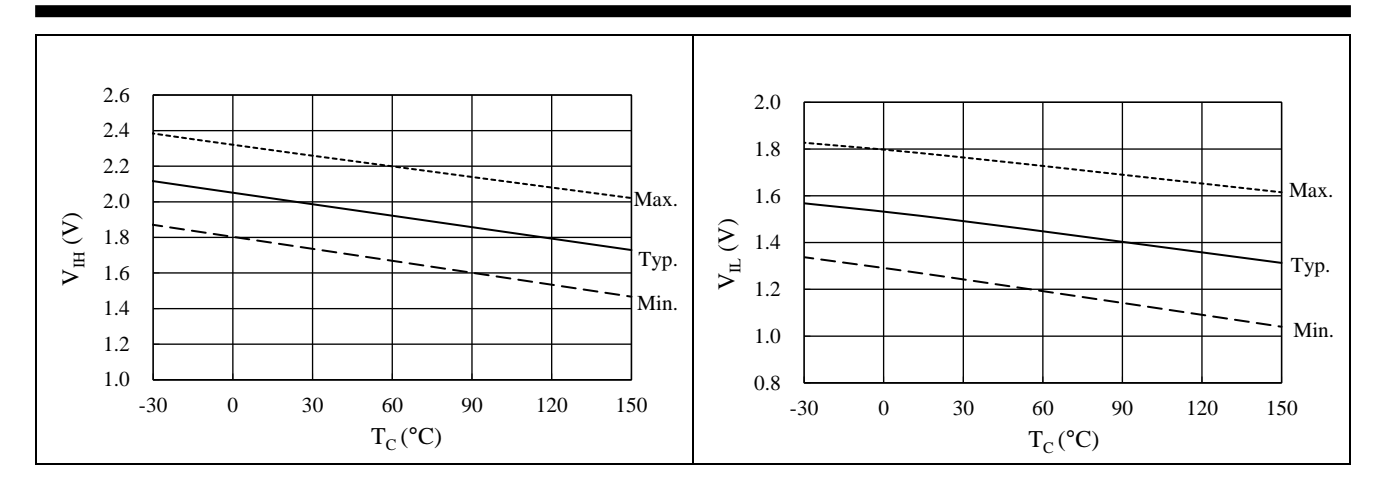


図 15-14 ハイレベル入力しきい電圧 $V_{\rm H}$ 温度特性

図 15-15 ローレベル入力しきい電圧 V_{IL} 温度特性

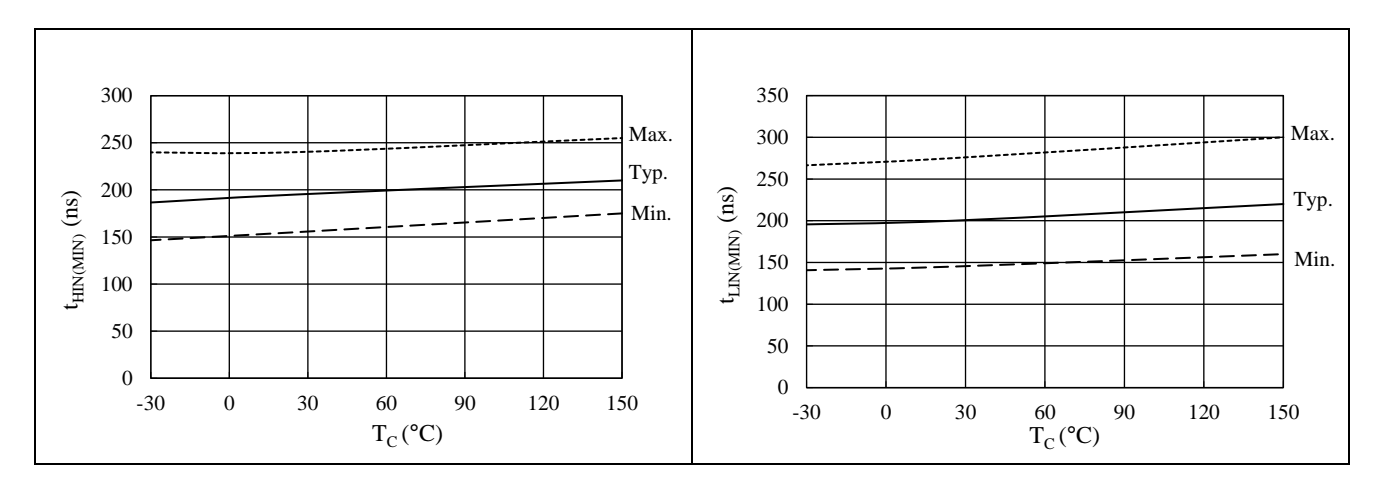


図 15-16 ハイサイド最小応答パルス幅 t_{HIN(MIN)}温度 特性

図 15-17 ローサイド最小応答パルス幅 t_{LIN(MIN)}温度 特性

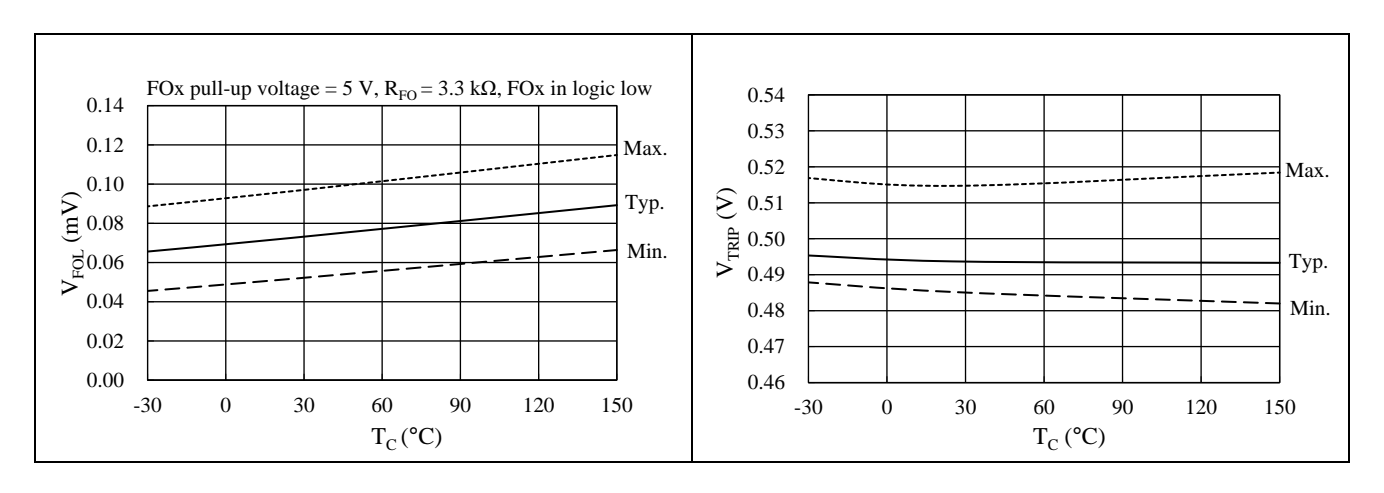


図 15-18 定常動作時 FOx 端子電圧 VFOL 温度特性

図 15-19 過電流保護動作電圧 V_{TRIP} 温度特性

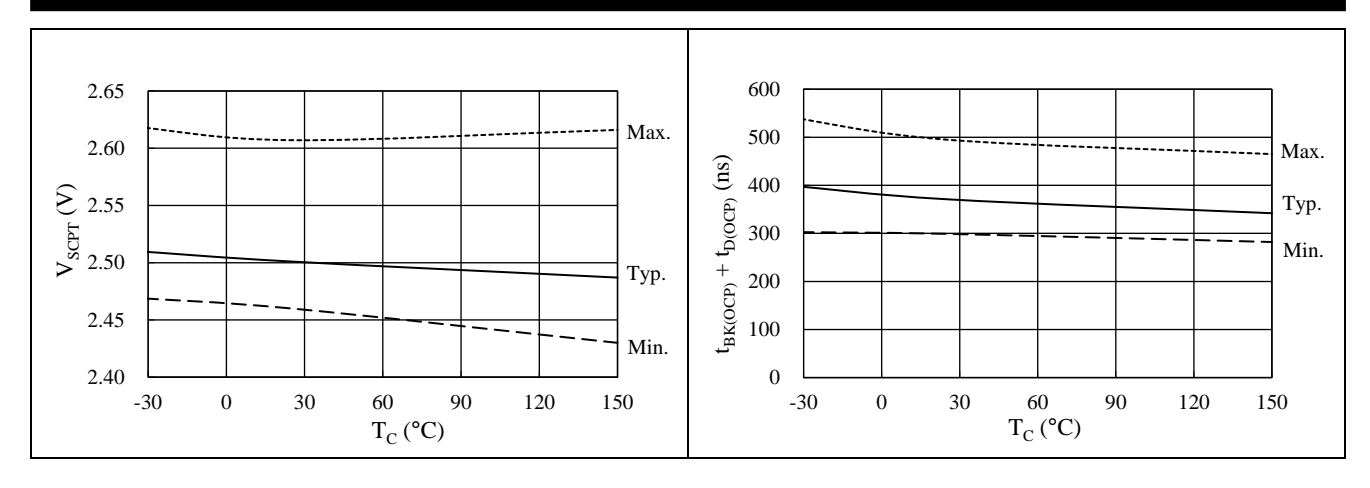


図 15-20 短絡時過電流保護動作電圧 V_{SCPT} 温度特性

図 15-21 過電流保護ブランキング時間 t_{BK(OCP)} + 内 部遅延時間 t_{D(OCP)}温度特性

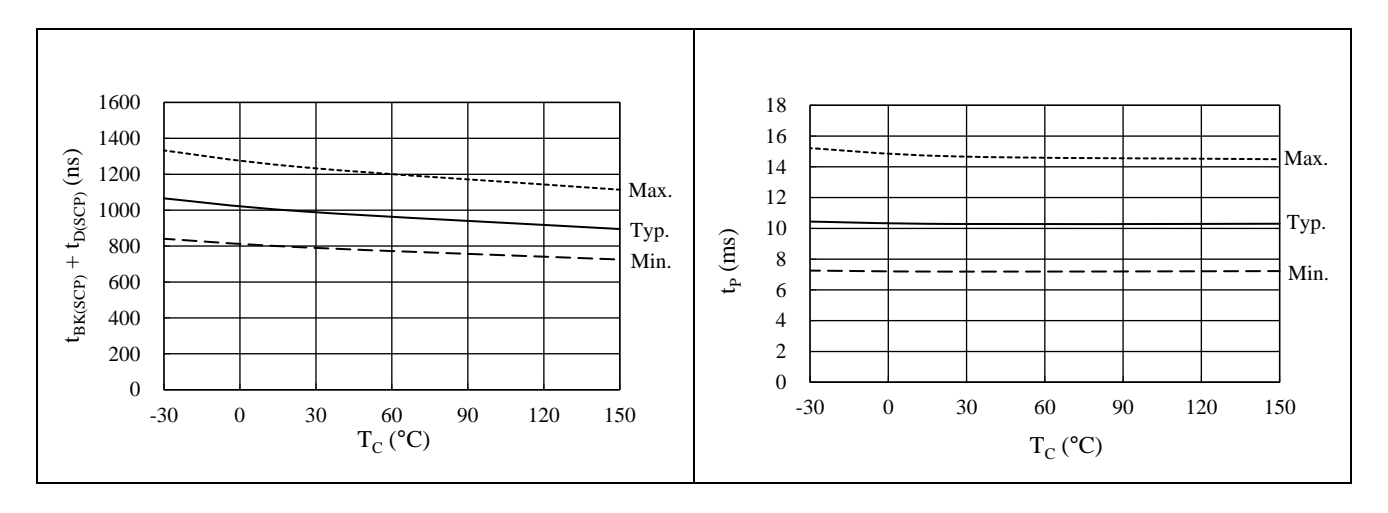


図 15-22 短絡時過電流保護ブランキング時間 t_{BK(SCP)} + 内部遅延時間 t_{D(SCP)}温度特性

図 15-23 過電流保護保持時間 tP 温度特性

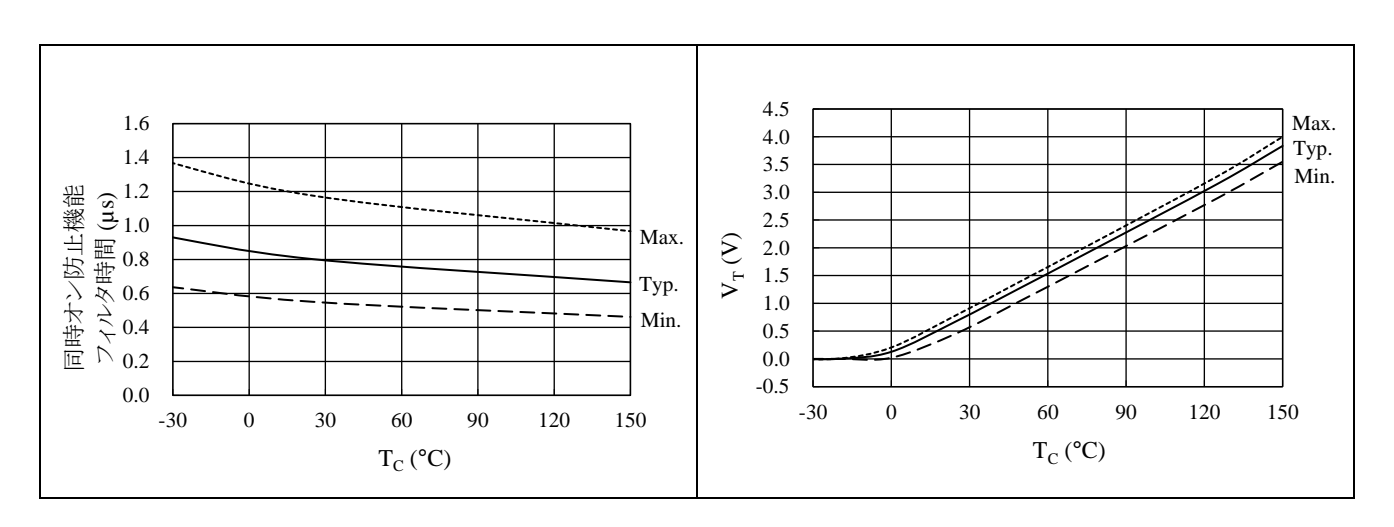


図 15-24 同時オン防止機能フィルタ時間温度特性

図 15-25 VT 端子出力電圧 V_T 温度特性

15.3. 出力特性グラフ

15.3.1. 出力素子特性グラフ

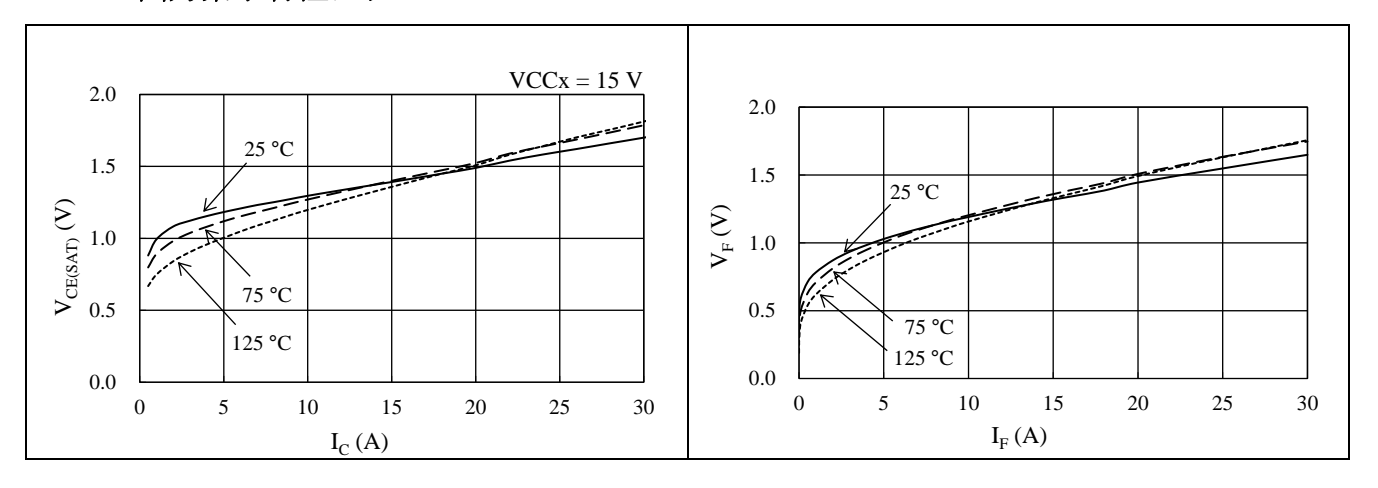


図 15-26 IGBT V_{CE(SAT)} - I_C 特性

図 15-27 フリーホイールダイオード $V_F - I_F$ 特性

15.3.2. スイッチング損失特性グラフ

VBB 端子電圧 = 300 V、L 負荷におけるハーフブリッジ動作時のスイッチング損失です。 スイッチング損失 E は、ターンオン損失とターンオフ損失の合計です。

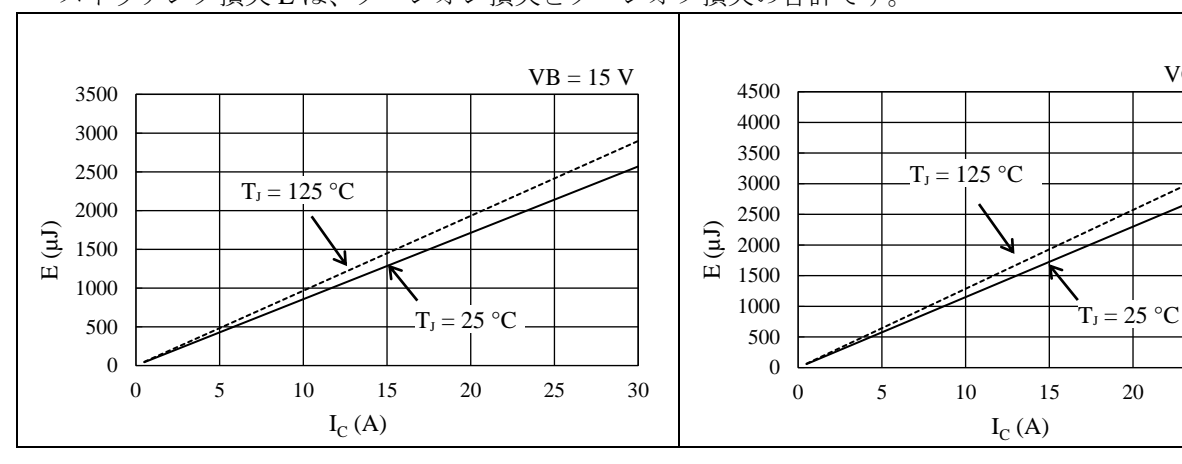


図 15-28 ハイサイドスイッチング損失特性

図 15-29 ローサイドスイッチング損失特性

VCCx = 15 V

25

15.4. 許容実効電流特性グラフ

以下に示す許容実効電流特性は、正弦波駆動の 3 相変調方式、出力素子の $V_{\text{CE(SAT)}}$ およびスイッチング損失は Typ.品を想定しています。

<動作条件>

VBB 端子入力電圧 $V_{DC}=300$ V、VCCx 端子入力電圧 $V_{CC}=15$ V、変調率 M=0.9、モータ力率 $\cos\theta=0.8$ 、ジャンクション温度 $T_J=150$ °C

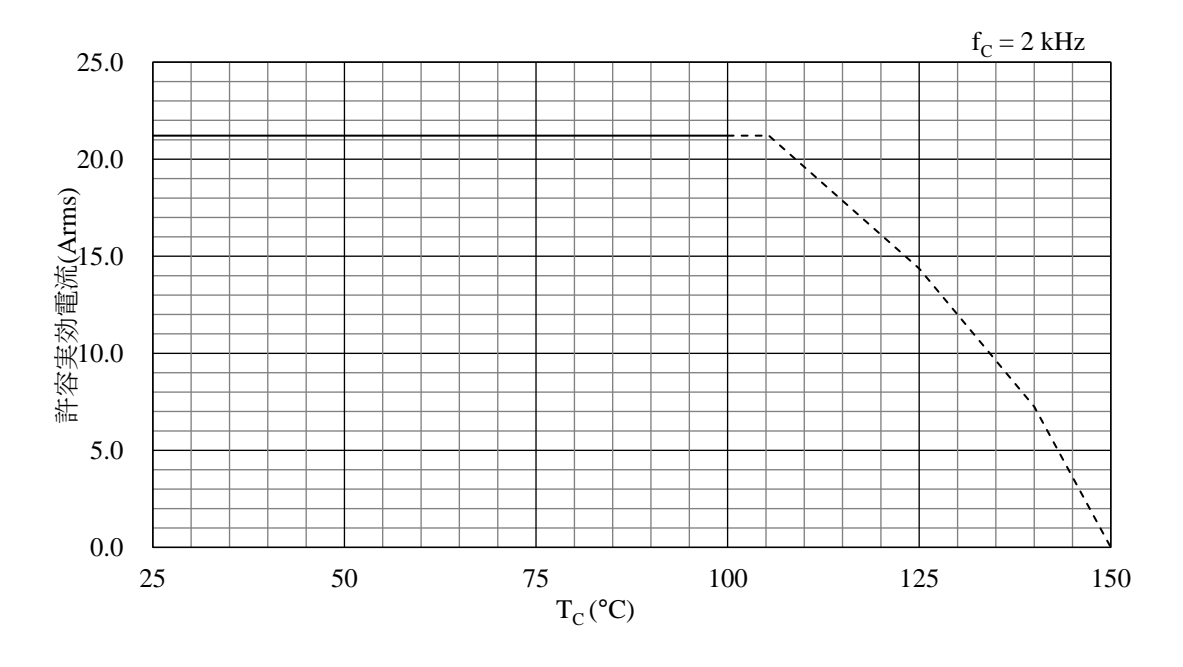


図 15-30 許容電流特性 (f_C = 2 kHz)

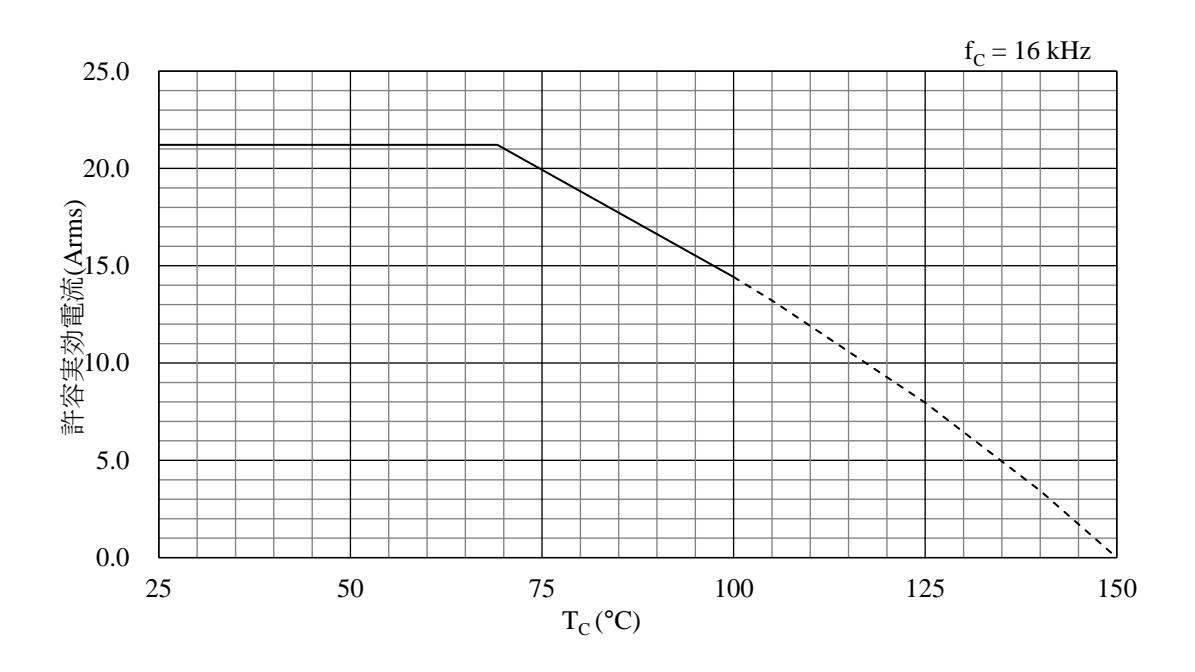


図 15-31 許容電流特性 (f_C = 16 kHz)

15.5. 短絡 SOA

条件) $V_{DC} \le 400 \text{ V}$ 、 $13.5 \text{ V} \le V_{CC} \le 16.5 \text{ V}$ 、 $T_J = 125 \text{ °C}$ 、 1 パルス

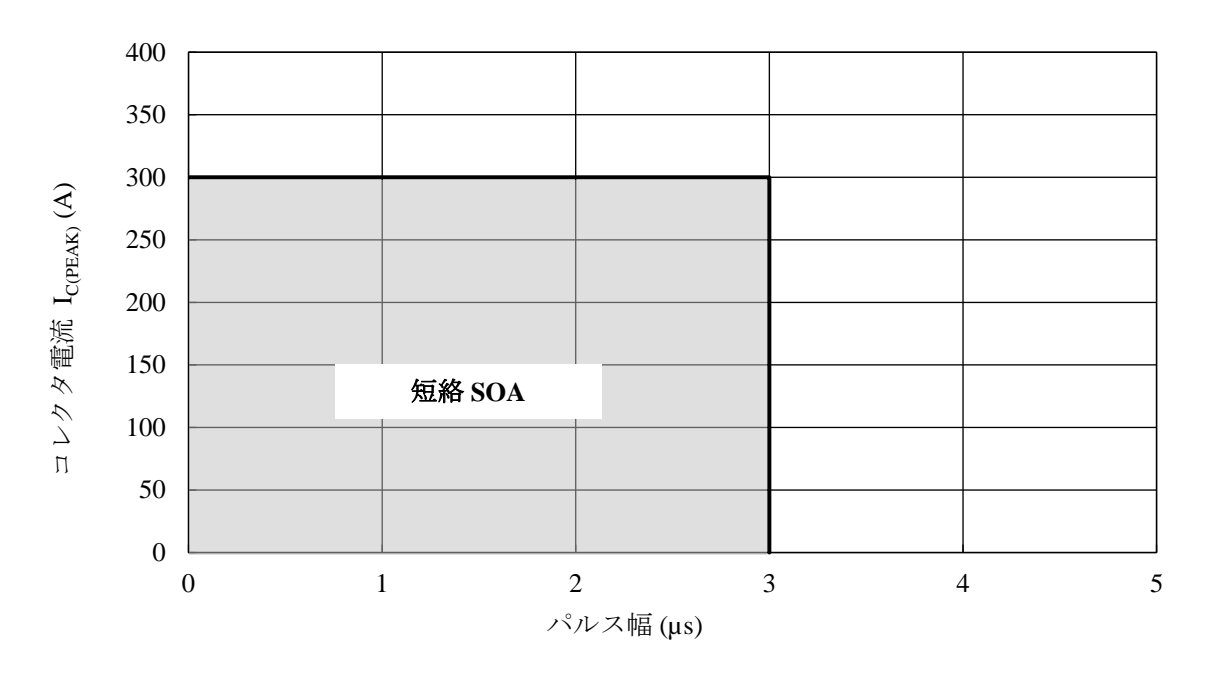


図 15-32 短絡 SOA

16. パターンレイアウト例

以下に、SCM1276MB を使用したパターンレイアウト例と、その回路図を示します。端子の穴径については 10.3 項を参照してください。

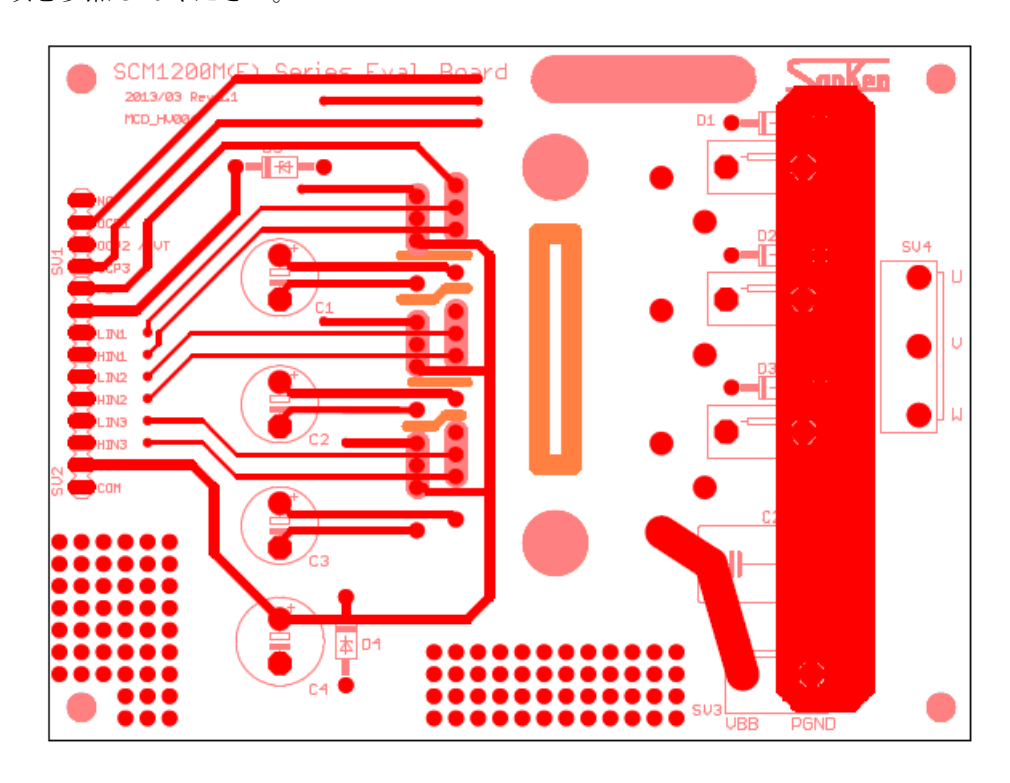


図 16-1 表面パターンレイアウト例

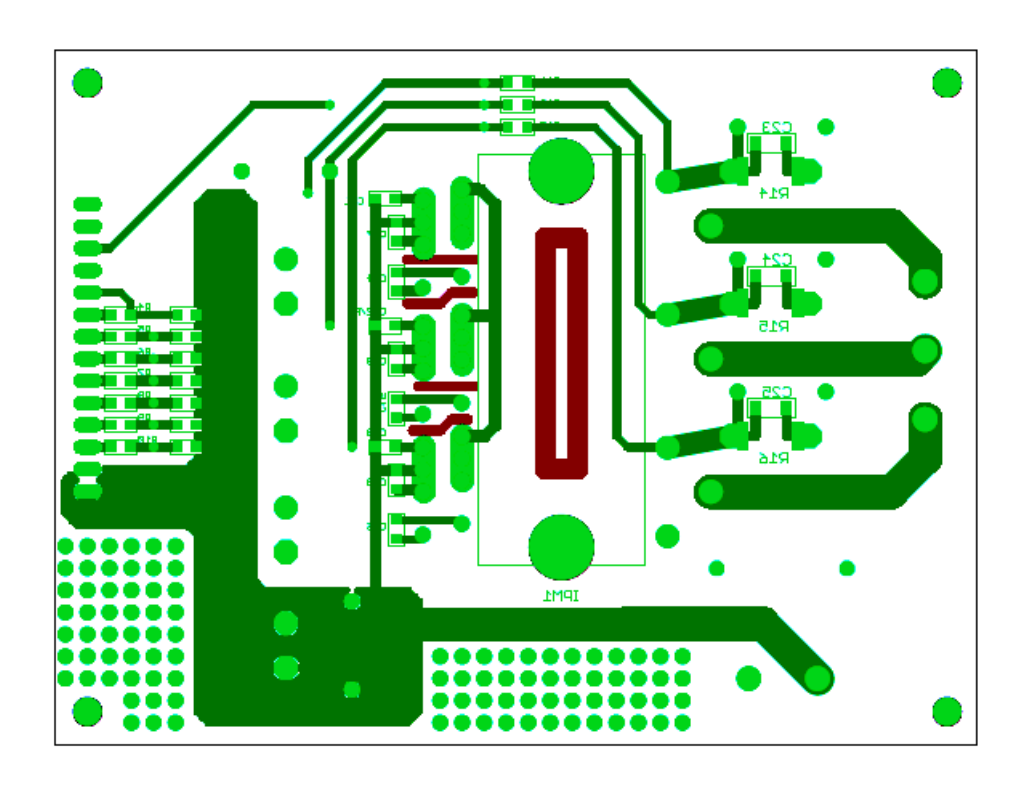


図 16-2 裏面パターンレイアウト例

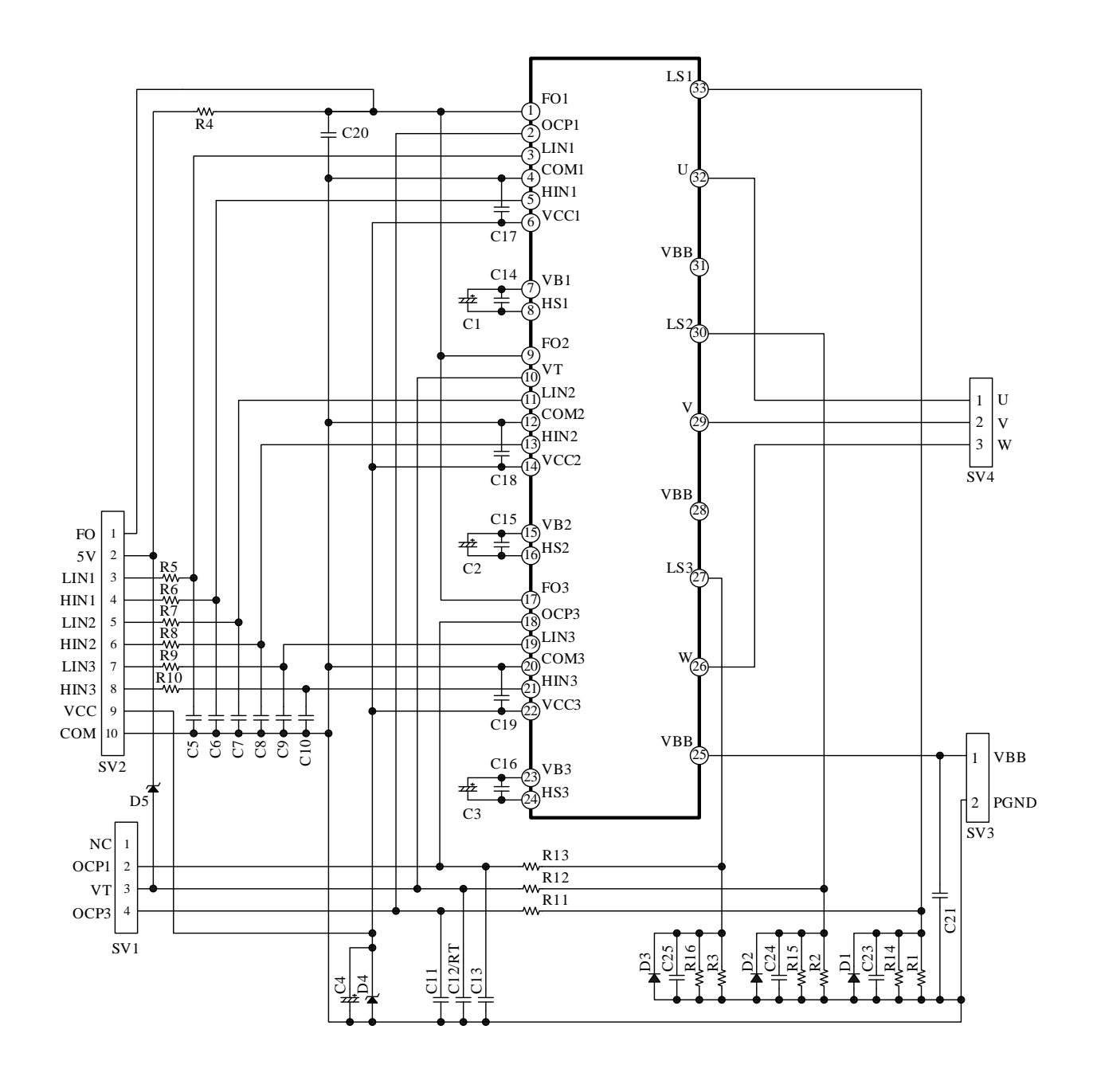


図 16-3 パターンレイアウト回路図

17. モータドライバ回路例

モータドライバの回路例として、その仕様と回路図および部品表を以下に示します。

● モータドライバ仕様

使用 IC	SCM1276MB
主電源電圧 V_{DC}	DC300 V (typ.)
定格出力電力	1.35 kW

● 回路図

図 16-3 参照

● 部品表

記号	部品名	定格	記号	部品名	定格
C1	Electrolytic	47 μF, 50 V	R1*	Metal plate	27 mΩ, 2 W
C2	Electrolytic	47 μF, 50 V	R2*	Metal plate	27 mΩ, 2 W
C3	Electrolytic	47 μF, 50 V	R3*	Metal plate	27 mΩ, 2 W
C4	Electrolytic	100 μF, 50 V	R4	General	4.7 kΩ, 1/8 W
C5	Ceramic	100 pF, 50 V	R5	General	100 Ω, 1/8 W
C6	Ceramic	100 pF, 50 V	R6	General	100 Ω, 1/8 W
C7	Ceramic	100 pF, 50 V	R7	General	100 Ω, 1/8 W
C8	Ceramic	100 pF, 50 V	R8	General	100 Ω, 1/8 W
C9	Ceramic	100 pF, 50 V	R9	General	100 Ω, 1/8 W
C10	Ceramic	100 pF, 50 V	R10	General	100 Ω, 1/8 W
C11	Ceramic	2200 pF, 50 V	R11	General	100 Ω, 1/8 W
C12/RT	Ceramic	2200 pF, 50 V	R12	General	Open
C13	Ceramic	2200 pF, 50 V	R13	General	100 Ω, 1/8 W
C14	Ceramic	0.1 μF, 50 V	R14*	General	Open
C15	Ceramic	0.1 μF, 50 V	R15*	General	Open
C16	Ceramic	0.1 μF, 50 V	R16*	General	Open
C17	Ceramic	0.1 μF, 50 V	D1	General	1 A, 50 V
C18	Ceramic	0.1 μF, 50 V	D2	General	1 A, 50 V
C19	Ceramic	0.1 μF, 50 V	D3	General	1 A, 50 V
C20	Ceramic	1000 pF, 50 V	D4	Zener	$V_Z = 20 \text{ V}, 0.5 \text{ W}$
C21	Film	0.1 μF, 630 V	D5	General	Open
C23*	Ceramic	0.1 μF, 50 V	SV1	Pin header	MA04-1 相当
C24*	Ceramic	0.1 μF, 50 V	SV2	Pin header	MA10-1 相当
C25*	Ceramic	0.1 μF, 50 V	SV3	Connector	B2P3-VH 相当
			SV4	Connector	B3P5-VH 相当
			IPM1	IC	SCM1276MB

^{*} 実機評価で調整が必要な部品

注意書き

- 本書に記載している製品(以下、「本製品」という)のデータ、図、表、およびその他の情報(以下、「本情報」という)は、本書発行時点のものです。本情報は、改良などで予告なく変更することがあります。本製品を使用する際は、本情報が最新であることを弊社販売窓口に確認してください。
- ◆本製品は、一般電子機器(家電製品、事務機器、通信端末機器、計測機器など)の部品に使用されることを意図しております。本製品を使用する際は、納入仕様書に署名または記名押印のうえ、返却をお願いします。高い信頼性が要求される装置(輸送機器とその制御装置、交通信号制御装置、防災装置、防犯装置、各種安全装置など)に本製品を使用することを検討する際は、必ず事前にその使用の適否について弊社販売窓口へ相談いただき、納入仕様書に署名または記名押印のうえ、返却をお願いします。本製品は、極めて高い信頼性が要求される機器または装置(航空宇宙機器、原子力制御、その故障や誤動作が生命や人体に危害を及ぼす恐れのある医療機器(日本における法令でクラスⅢ以上)など)(以下「特定用途」という)に使用されることは意図されておりません。特定用途に本製品を使用したことでお客様または第三者に生じた損害などに関して、弊社は一切その責任を負いません。
- ◆本製品を使用するにあたり、本製品に他の製品や部材を組み合わせる際、あるいはこれらの製品に物理的、 化学的、その他の何らかの加工や処理を施す際は、使用者の責任においてそのリスクを必ず検討したうえ で行ってください。
- 弊社は、品質や信頼性の向上に努めていますが、半導体製品は、ある確率で欠陥や故障が発生することは 避けられません。本製品が故障し、その結果として人身事故、火災事故、社会的な損害などが発生しない ように、故障発生率やディレーティングなどを考慮したうえで、使用者の責任において、本製品が使用さ れる装置やシステム上で、十分な安全設計および確認を含む予防措置を必ず行ってください。ディレー ティングについては、納入仕様書および弊社ホームページを参照してください。
- ◆本製品は、耐放射線設計をしておりません。
- ◆ 本書に記載している回路定数、動作例、回路例、パターンレイアウト例、設計例、推奨例、本書に記載しているすべての情報、およびこれらに基づく評価結果などは、使用上の参考として示したものです。
- 本情報に起因する使用者または第三者のいかなる損害、および使用者または第三者の知的財産権を含む財産権とその他一切の権利の侵害問題について、弊社は一切その責任を負いません。
- ◆ 本情報を、文書による弊社の承諾なしに転記や複製をすることを禁じます。
- 本情報について、弊社の所有する知的財産権およびその他の権利の実施、使用または利用を許諾するものではありません。
- 使用者と弊社との間で別途文書による合意がない限り、弊社は、本製品の品質(商品性、および特定目的または特別環境に対する適合性を含む)ならびに本情報(正確性、有用性、および信頼性を含む)について、明示的か黙示的かを問わず、いかなる保証もしておりません。
- 本製品を使用する際は、特定の物質の含有や使用を規制する RoHS 指令など、適用される可能性がある環境関連法令を十分に調査したうえで、当該法令に適合するように使用してください。
- ◆本製品および本情報を、大量破壊兵器の開発を含む軍事用途やその他軍事利用の目的で使用しないでください。また、本製品および本情報を輸出または非居住者などに提供する際は、「米国輸出管理規則」や「外国為替及び外国貿易法」など、各国で適用される輸出管理法令などを遵守してください。
- 弊社物流網以外における本製品の落下などの輸送中のトラブルについて、弊社は一切その責任を負いません。
- ◆本書は、正確を期すために慎重に製作したものですが、本書に誤りがないことを保証するものではありません。万一、本情報の誤りや欠落に起因して、使用者に損害が生じた場合においても、弊社は一切その責任を負いません。
- ◆ 本製品を使用する際の一般的な使用上の注意は弊社ホームページを、特に注意する内容は納入仕様書を参照してください。
- 本書で使用されている個々の商標、商号に関する権利は、弊社を含むその他の原権利者に帰属します。

DSGN-CJZ-16003